

การเติบโตและความเร่งของกันชนหน้ารถยนต์ปัจจุบัน

ในการชนกระแทกแนวตรง

**DEFORMATION AND ACCELERATION OF PICHUP FRONT BUMPER IN  
LINEAR CRASHING**

นายธีรวัฒน์ วงศ์ด้วง รหัส 50380324  
นายนักที่ ติบิต รหัส 50383707

ปริญานินพน์นี้เป็นส่วนหนึ่งของการศึกษาหลักสูตรปริญญาวิศวกรรมศาสตรบัณฑิต

สาขาวิชาชีวกรรมเครื่องกล ภาควิชาชีวกรรมเครื่องกล

คณะวิศวกรรมศาสตร์ มหาวิทยาลัยนเรศวร

ปีการศึกษา 2554

ห้องสมุดศิษย์วิศวกรรมศาสตร์
วันที่รับ..... 25.๗.๒๕๕๔
เลขที่บัตร..... 15696124
เลขที่บัตรนักเรียน..... N/A
หมายเหตุ.....
ลงชื่อ..... ๘๖๔๗

๙/๑  
2554



## ใบรับรองปริญญาในพิณฑ์

หัวข้อโครงการ	: การเติบโตและความเร่งของกันชนหน้ารถยกตัวบรรทุกในการชนกระแทก
แนวร่อง	: แนวร่อง
ผู้ดำเนินโครงการ	: นายชีรัชานน์ วงศ์ดีวงศ์ รหัสนิสิต 50380324
	: นายนฤทธิ์ ลิบิต รหัสนิสิต 50383707
ที่ปรึกษาโครงการ	: อาจารย์อดิศร ประสีทธิ์ศักดิ์
สาขาวิชา	: วิศวกรรมเครื่องกล
ภาควิชา	: วิศวกรรมเครื่องกล
ปีการศึกษา	: 2554

ขอเชิญชวนคณาจารย์ นักศึกษา บุคลากร อนุมัติให้ใบปริญญานิพนธ์ฉบับนี้เป็นส่วนหนึ่ง  
ของการศึกษาตามหลักสูตรวิศวกรรมศาสตรบัณฑิต สาขาวิชาวิศวกรรมเครื่องกล

.....  
(อาจารย์อดิศร ประสีทธิ์ศักดิ์)  
.....

.....  
(ดร.ภาณุ พุทธวงศ์)  
.....

.....  
(ดร.ศศิษยา วีรพันธ์)  
.....

หัวข้อโครงการ	การเสียรูปและความเร่งของกันชนหน้ารถยกต่ำรถทุกในการชน กระแทกแนวตรง		
ผู้ดำเนินโครงการ	นายชีรัพันธ์ วงศ์ด้วง รหัสนิสิต 50380409		
	นายนฤทธิ์ ลิพิต รหัสนิสิต 50381185		
ที่ปรึกษาโครงการ	อาจารย์ดีศิร ประสาทธีศักดิ์		
สาขาวิชา	วิศวกรรมเครื่องกล		
ภาควิชา	วิศวกรรมเครื่องกล		
ปีการศึกษา	2554		

### บทคัดย่อ

โครงการนี้เป็นการศึกษาการเสียรูปและความเร่งของกันชนหน้ารถยกต่ำรถทุกในการชน  
กระแทกแนวตรงเพื่อการศึกษาการเสียรูปและความเร่ง ที่เกิดขึ้นต่อกันชนหน้ารถยกต่ำรถทุกเมื่อ  
เกิดอุบัติเหตุในลักษณะการชนกระแทกต่อกำแพงแข็งเกร็งกันชนรถยกต่ำรถทุก ที่ศึกษาทำจาก  
แผ่นเหล็กที่มีความหนา 3 มิลลิเมตรและกิจการชนกระแทกที่ความเร็ว 60 กิโลเมตรต่อชั่วโมง ใน  
การศึกษาได้ใช้โปรแกรมสำหรับทางไฟฟ้านต์อลิเมนต์ในการจำลองสภาพการชนกระแทก  
นอกจากนี้ได้ศึกษาถึงการเปลี่ยนแปลงแรงชนกระแทกที่มีการเปลี่ยนแปลงของความหนา กันชน  
และความเร็วชนกระแทกคือ เปลี่ยนค่าความหนาจำนวน 3 ค่า คือ 1, 2 และ 3 มิลลิเมตร และเปลี่ยน  
ค่าความเร็วชนกระแทกจำนวน 5 ค่า คือ 51, 58, 64, 70 และ 77 กิโลเมตรต่อชั่วโมง

ผลการจำลองสภาพพบว่า กันชนจะมีความเสียหายมากที่สุดที่นี่รีเวนจุที่ติดตั้งตัวรองรับ  
กันชน ซึ่งค่อเข้ากับโครงรถยกต่ำจะถูกอัดจนหุบตัว และการชนกระแทกจะสิ้นสุดในเวลา  
ประมาณ 30 มิลลิวินาที สำหรับการศึกษาความเร่งพบว่า การชนกระแทกของกันชนที่มีความหนา 3 มิลลิเมตร และมีการชนกระแทกที่ความเร็ว 64 กิโลเมตรต่อชั่วโมง พบว่า มีการเสียรูปและความเร่ง  
ประมาณ 31,000 เมตรต่อวินาที<sup>2</sup> โดยที่ตัวแปรต่างๆ ที่ได้ศึกษาจะมีความเร่งของการชนกระแทก  
ระหว่าง 18,000 ถึง 39,000 เมตรต่อวินาที<sup>2</sup> และพบว่า ความเร็วชนกระแทกและความหนาของกัน  
ชนมีผลโดยตรงต่อกำลังเร่งสูงสุดที่เกิดขึ้นต่อกันชนหน้ารถยกต่ำรถทุก แต่ความหนาจะส่งผลน้อย  
กว่า ความเร็วชนกระแทก จากการจำลองสภาพพบว่า ที่ความหนานามากและความเร็วที่พุ่งเข้าชนสูงกัน  
ชนจะสามารถรับพลังงานได้ดีกว่า กันชนที่มีความหนาน้อย

**Project Title** : Deformation and acceleration of pickup front bumper in linear crashing

**Name** : Mr. Teerawat Wongduang Student ID. 50380324

: Mr. Nattee Likit Student ID. 50383707

**Project Advisor** : Mr. Adisorn Prasitsak

**Major** : Mechanical Engineering

**Department** : Mechanical Engineering

**Academic Year** : 2011

## Abstract

This project studies a deformation and acceleration of pickup front bumper in linear crashing. The deformation and acceleration of bumper occurs when there is frontal collision of vehicle into a rigid wall. The bumper is made from steel sheet. The bumper of 3 mm thickness and 64 km/h of impact velocity is crashing case for this project. The crashing is studied by using finite element simulation. Moreover, the effects of the thickness and impact velocity on the impact force are investigated. The bumper thickness is varied to be 1, 2 and 3 mm. and the impact velocity is varied to be 51, 58, 64, 70 and 77 km/h.

The simulation results show that the bumper which connected to the supporter of the vehicle frame has a maximum deformation. The deformation of bumper is compressed with supporter to a rigid wall. The crashing is ending within approximately 30 ms. The acceleration result show that the crashing of the bumper of 3 mm thickness and 64 km/h of impact velocity has a deceleration of  $31,000 \text{ m/s}^2$ . The decelerations of all studied variables are varied between 18,000 to  $39,000 \text{ m/s}^2$ . The studied of the thickness and impact velocity effect to the acceleration show that both are direct variation. The impact velocity has an effect to the acceleration more than the thickness. The simulation showed that the higher thickness and impact velocity of the bumper has a better energy absorption.

## กิตติกรรมประกาศ

### (Acknowledgement)

โครงการนักขั้นนี้จัดทำขึ้น โดยมุ่งเน้นในเรื่อง การศึกษาการเติบโตและความเร่งของก้าวหน้า หน้าร่องนั้นบรรทุกในการชนกระแทกแนวตรงนี้สำเร็จได้ด้วยดี เพราะ ได้รับการคุ้มครองไว้ ไม่ใช่เป็นอย่างดี จากท่านอาจารย์อธิการ ประสาททิพย์พักดี ซึ่งเป็นอาจารย์ที่ปรึกษา บริษัทฯ นี้ ที่กรุณาวาให้คำปรึกษาและข้อเสนอแนะที่เป็นประโยชน์ต่อการดำเนินงาน จึงขอกราบพระคุณอย่างสูง

ขอขอบคุณอาจารย์และครูช่างทุกท่านที่ให้คำปรึกษาในการใช้เครื่องทดสอบการคงเหลือรวมทั้งภาควิชาศิลปกรรมเครื่องกล มหาวิทยาลัยราชภัฏทุกท่าน ที่กรุณากล่าวให้ความช่วยเหลือแนะนำ จนทำให้โครงการบริษัทฯ นี้สำเร็จลุล่วงไปด้วยดี

ขอกราบพระคุณบิคานและมารดา ที่สนับสนุนอุปการะด้านการเงินและขอ ให้กำลังใจและ ความเป็นห่วงเป็นใจแก่ผู้ดำเนิน

สุดท้ายนี้ขอขอบคุณ โครงการบริษัทฯ นี้ ไว เพื่อเป็นประโยชน์ต่อผู้ที่จะศึกษาและ ศึกษาต่อไป

คณะผู้ดำเนินโครงการ  
นายธีรวัฒน์ วงศ์สว่าง  
นายนพกีรติ ลิขิต

# สารบัญ

หน้า

ใบรับรองนวัตกรรมนิพนธ์.....	๑
บทคัดย่อ.....	๒
Abstract.....	๓
กิตติกรรมประกาศ.....	๔
สารบัญ.....	๕
สารบัญตาราง.....	๙
สารบัญรูปภาพ.....	๙
สารบัญสัญลักษณ์และอักษรชื่อ.....	๑๐

บทที่ ๑ บทนำ.....	๑
-------------------	---

1.1 ที่มาและความสำคัญของโครงการ.....	๑
1.2 วัตถุประสงค์.....	๓
1.3 ขอบเขตของโครงการ.....	๓
1.4 ประโยชน์ที่คาดว่าจะได้รับ.....	๓
1.5 ขั้นตอนการดำเนินงาน.....	๔
1.6 ระยะเวลาและแผนการดำเนินงาน.....	๔
1.7 สถานที่ปฏิบัติงาน.....	๕
1.8 อุปกรณ์ที่ใช้.....	๕
1.9 งบประมาณที่ใช้.....	๕

บทที่ ๒ หลักการและทฤษฎีเบื้องต้น.....	๖
---------------------------------------	---

2.1 ทฤษฎีการกระแทก – สัมผัส (Impact-Contact Theory).....	๖
2.2 พลังงานเครียด (Strain Energy).....	๑๒
2.3 ระเบียบวิธีไฟไนต์เอลิเมนต์ (Finite Element Method).....	๑๓
2.4 คุณสมบัติวัสดุ (Material Property).....	๑๘

## สารบัญ (ต่อ)

หน้าที่

บทที่ ๑ วิธีการดำเนินงาน.....	19
3.1 ศึกษาข้อมูลที่เกี่ยวข้อง.....	19
3.2 การทดสอบคึ่งแผ่นเหล็กทดสอบ.....	19
3.3 การจำลองสภาพการชนกระแทก.....	20
3.4 การนำเสนอผลการศึกษา.....	20
3.5 วิเคราะห์และสรุปผลการจำลองสภาพ.....	20
 บทที่ ๔ ผลการดำเนินงาน.....	 22
4.1 การศึกษาข้อมูลที่เกี่ยวข้อง.....	22
4.2 การทดสอบคึ่งแผ่นเหล็ก.....	24
4.3 การจำลองสภาพการชนกระแทก.....	27
4.4 การนำเสนอผลการศึกษา.....	35
4.5 การวิเคราะห์ผลการจำลองสภาพ.....	43
 บทที่ ๕ วิเคราะห์และสรุปผลการจำลองสภาพ.....	 46
5.1 การวิเคราะห์ผลการทดสอบ.....	46
5.2 สรุปผลการทดลอง.....	48
5.3 ข้อเสนอแนะ .....	48
 เอกสารอ้างอิง.....	 49
ภาคผนวก ก.....	51
ภาคผนวก ข.....	59
ประวัติผู้จัดทำโครงการ.....	62

## สารบัญตาราง

### หน้าที่

ตารางที่ 1.1 จำนวนครุภัณฑ์ในพัสดุให้พระราชนิรภัยต่อรายเดือน พ.ศ 2522 .....	2
ตารางที่ 1.2 ระยะเวลาและแผนปฏิบัติงานในการดำเนินโครงการ.....	5
ตารางที่ 2.1 คุณสมบัติของเหล็ก.....	18
ตารางที่ 4.1 มิติของกันชนหน้ารถตัวอหัง.....	23
ตารางที่ 4.2 ข้อมูลรถตัวอหัง.....	23
ตารางที่ 4.3 ข้อมูลคุณสมบัติวัสดุของแผ่นเหล็ก.....	26
ตารางที่ 4.4 รายละเอียดของแบบจำลอง.....	27
ตารางที่ 4.5 คุณสมบัติวัสดุที่เกี่ยวข้องของแบบจำลองกันชน.....	31
ตารางที่ 4.6 ความเร่งสูงสุดของการจำลองสภาพ.....	44



## สารบัญรูปภาพ

	หน้า
รูปที่ 1.1 อุปกรณ์หดูจราจร .....	2
รูปที่ 2.1 แบบจำลองการสัมผัสนะระหว่างวัตถุ A และ B .....	7
รูปที่ 2.2 เวคเตอร์ในพิกัดเฉพาะที่ ณ ผิวสัมผัส ล้ำงอิงจากฟิลลักษณ์ .....	8
รูปที่ 2.3 เวคเตอร์ความเร็วพิจารณา ณ ชุดสัมผัส (แสดงโดยแยกชุดสัมผัสออกจากกัน) .....	9
รูปที่ 2.4 แห่งตรงได้รับการระบุบนอก P ทำให้ขีดออกเป็นระยะ dx .....	13
รูปที่ 2.5 ตัวอย่างเอลิเมนต์แบบต่างๆ .....	14
รูปที่ 2.6 ตัวอย่างการแบ่งแบบจำลองออกเป็นเอลิเมนต์เดิกๆ .....	15
รูปที่ 2.7 ภาพแสดงผังระดับของความลึกบนชิ้นงานหนึ่งด้วยโปรแกรมแสดงผล .....	18
รูปที่ 4.1 ลักษณะกันชนหน้ารถชนตัวรถทุก .....	23
รูปที่ 4.2 ตัวอย่างแผ่นเหล็ก .....	25
รูปที่ 4.3 รูปร่างการจัดเตรียมตัวอย่างทดสอบดึงแผ่นเหล็ก .....	25
รูปที่ 4.4 การติดตั้งตัวอย่างทดสอบดึงเข้ากับเครื่องทดสอบ .....	26
รูปที่ 4.5 ตัวอย่างทดสอบที่ผ่านการทดสอบดึงจนขาดออกจากกัน .....	26
รูปที่ 4.6 ค่าดำเนินของแรงดึงและระยะขีดเฉลี่ยของทดสอบดึงแผ่นตัวอย่างเหล็ก .....	26
รูปที่ 4.7 ภาพรวมของแบบจำลอง .....	28
รูปที่ 4.8 การขัด洼ด้านหน้างบนแบบจำลองทั้ง 3 .....	28
รูปที่ 4.9 การสร้างเส้นใน AutoCAD .....	29

## สารบัญรูปภาพ (ต่อ)

หน้า	
30	<b>รูปที่ 4.10</b> แบบจำลองที่ถูกแบ่งເອົາມີເນັດ .....
30	<b>รูปที่ 4.11</b> ตัวอย่างข้อมูลแบบจำลองสำหรับสร้างไฟล์นำเข้า.....
31	<b>รูปที่ 4.12</b> การกำหนดคุณสมบัติของแบบจำลองในไฟล์นำเข้า.....
33	<b>รูปที่ 4.13</b> การกำหนดการบังคับการเคลื่อนที่ในไฟล์นำเข้า.....
33	<b>รูปที่ 4.14</b> การกำหนดคู่สัมพันธ์ในไฟล์นำเข้า.....
34	<b>รูปที่ 4.15</b> การกำหนดผลลัพธ์ในไฟล์นำเข้า.....
35	<b>รูปที่ 4.16</b> การทำงานของโปรแกรมขณะประมวลผล.....
36	<b>รูปที่ 4.17</b> กາພເທດກາຮັບໃນຮະຫວ່າງກາຮນກະຮແກ.....
38	<b>รูปที่ 4.18</b> ກາພຕໍານີ້ຂ່າງແລະຕໍານີ້ນີ້ໃນຮະຫວ່າງກາຮນກະຮແກ.....
38	<b>รูปที่ 4.19</b> ກາໄຟແສດຈກາເປົ້າຍເທືນກາເປົ້າຍເປົ້າຍແປ່ງຄວາມຮ່າງທີ່ເວລາຕ່າງໆຂອງກາຮນກະຮແກທີ່ ຄວາມເຮົາທີ້ 5 ຄໍາຂອງກັນໜີຄວາມໜານ 1 ມິລືດີມຕຣ.....
39	<b>รูปที่ 4.20</b> ກາໄຟແສດຈກາເປົ້າຍເທືນກາເປົ້າຍເປົ້າຍແປ່ງຄວາມຮ່າງທີ່ເວລາຕ່າງໆຂອງກາຮນກະຮແກທີ່ ຄວາມເຮົາທີ້ 5 ຄໍາຂອງກັນໜີຄວາມໜານ 2 ມິລືດີມຕຣ.....
39	<b>รูปที่ 4.21</b> ກາໄຟແສດຈກາເປົ້າຍເທືນກາເປົ້າຍເປົ້າຍແປ່ງຄວາມຮ່າງທີ່ເວລາຕ່າງໆຂອງກາຮນກະຮແກທີ່ ຄວາມເຮົາທີ້ 5 ຄໍາຂອງກັນໜີຄວາມໜານ 3 ມິລືດີມຕຣ.....
40	<b>รูปที่ 4.22</b> ກາໄຟແສດຈກາເປົ້າຍເທືນກາເປົ້າຍເປົ້າຍແປ່ງຄວາມຮ່າງທີ່ເວລາຕ່າງໆຂອງກາຮນກະຮແກທີ່ມີ ຄວາມໜານທີ້ 3 ຄໍາທີ່ຄວາມເຮົາ 51 ກີໂໂລມຕຣຕ່ອ້ວ້າໄມງ.....
41	<b>รูปที่ 4.23</b> ກາໄຟແສດຈກາເປົ້າຍເທືນກາເປົ້າຍເປົ້າຍແປ່ງຄວາມຮ່າງທີ່ເວລາຕ່າງໆຂອງກາຮນກະຮແກທີ່ມີ ຄວາມໜານທີ້ 3 ຄໍາທີ່ຄວາມເຮົາ 58 ກີໂໂລມຕຣຕ່ອ້ວ້າໄມງ.....
41	<b>รูปที่ 4.24</b> ກາໄຟແສດຈກາເປົ້າຍເທືນກາເປົ້າຍເປົ້າຍແປ່ງຄວາມຮ່າງທີ່ເວລາຕ່າງໆຂອງກາຮນກະຮແກທີ່ມີ ຄວາມໜານທີ້ 3 ຄໍາທີ່ຄວາມເຮົາ 64 ກີໂໂລມຕຣຕ່ອ້ວ້າໄມງ.....
42	<b>รูปที่ 4.25</b> ກາໄຟແສດຈກາເປົ້າຍເທືນກາເປົ້າຍເປົ້າຍແປ່ງຄວາມຮ່າງທີ່ເວລາຕ່າງໆຂອງກາຮນກະຮແກທີ່ມີ ຄວາມໜານທີ້ 3 ຄໍາທີ່ຄວາມເຮົາ 70 ກີໂໂລມຕຣຕ່ອ້ວ້າໄມງ.....
42	<b>รูปที่ 4.26</b> ກາໄຟແສດຈກາເປົ້າຍເທືນກາເປົ້າຍເປົ້າຍແປ່ງຄວາມຮ່າງທີ່ເວລາຕ່າງໆຂອງກາຮນກະຮແກທີ່ມີ ຄວາມໜານທີ້ 3 ຄໍາທີ່ຄວາມເຮົາ 77 ກີໂໂລມຕຣຕ່ອ້ວ້າໄມງ.....
42	<b>รูปที่ 4.27</b> ກາໄຟເປົ້າຍເທືນຄວາມຮ່າງທີ່ຄວາມໜານຕ່າງໆຂອງກັນໜີ.....

## สารบัญสัญลักษณ์และอักษรย่อ

<u>A</u>	Cross-sectional Area	พื้นที่หน้าตัด ( $m^2$ )
<u>B</u>	Matrix relating strains to nodal displacement	แมทริกซ์แสดงความสัมพันธ์ระหว่างความเครียดและการเสียรูปที่โอนด
<u>C</u>	Cosine direction	ทิศทาง cosine
<u>d</u>	global nodal displacement	พิกัดของออดิเม้นต์ การเสียรูปของโอนดในพิกัดรวม
<u>d'</u>	local nodal displacement	พิกัดของออดิเม้นต์ การเสียรูปของโอนดในพิกัดเฉพาะที่
<u>D</u>	Matrix relating stresses to strains	แมทริกซ์แสดงความสัมพันธ์ระหว่างความเห็นและความเครียด
<u>E</u>	Modulus of elasticity	โมดูลัสการยืดหยุ่น (Psi)
<u>f</u>	global-coordinate nodal force matrix	แมทริกซ์ของแรงที่โอนดพิกัดรวม
<u>f'</u>	local-coordinate nodal force matrix	แมทริกซ์ของแรงที่โอนดพิกัดเฉพาะที่
<u>f<sub>b</sub></u>	body force matrix	แมทริกซ์ของแรงน้ำหนักมวล
<u>f<sub>h</sub></u>	heat transfer force matrix	แมทริกซ์ของแรงน้ำหนักความร้อน
<u>f<sub>q</sub></u>	heat flux force matrix	แมทริกซ์ของปริมาณความร้อน
<u>f<sub>o</sub></u>	heat source force matrix	แมทริกซ์ของแหล่งกำเนิดความร้อน
<u>f<sub>s</sub></u>	surface force matrix	แมทริกซ์ของแรงที่ผิว
<u>F</u>	global-coordinate structure force matrix	แมทริกซ์ของแรงที่โครงสร้างในพิกัด
<u>F<sub>o</sub></u>	equivalent force matrix	แมทริกซ์ของแรงที่ขับเท่า
<u>g</u>	temperature gradient matrix	แมทริกซ์ของแรงการเปลี่ยนแปลงของอุณหภูมิ
<u>h</u>	heat-transfer coefficient	ค่าสัมประสิทธิ์การพาความร้อน

## สารบัญสัญลักษณ์และอักษรย่อ (ต่อ)

$I$	principal moment of inertia	โมเมนต์ความเฉื่อยของพื้นที่ (m <sup>4</sup> )
$J$	Jacobian matrix	เมทริกซ์ของ Jacobian
$k$	spring stiffness	สติฟเนสเมทริกซ์
$\underline{k}$	global-coordinate element stiffness matrix	สติฟเนสเมทริกซ์ของэлементъ в-
$\underline{k}'$	local-coordinate stiffness matrix	пикселяхъ
$K$	global-coordinate structure stiffness matrix	สติฟเนสเมทริกซ์ของที่-
$K_{xx}, K_{yy}$ thermal conductivities in x and y directions		โครงสร้างในพิกัดรวม
		ค่าการนำความร้อนในแนวแกน x และ y
$N$	shape (interpolation) function matrix	เมทริกซ์ของฟังก์ชันรูปร่าง
$N_i$	shape function	ฟังก์ชันรูปร่าง
$p$	surface pressure	ความดันที่ผิว (Psi)
$P$	concentrated load	แรงกระทำเป็นจุด (N)
$q$	heat flow per unit area	ค่าการถ่ายเทความร้อนต่อพื้นที่
$Q$	heat source generated per unit volume	ค่าการกำเนิดความร้อนต่อปริมาตร
$R$	residual in Galerkin's integral	เศษของวิธีอินทิกรัลของการแคลอร์คิน
$Rb$	body force in the radial direction	แรงเนื่องจากน้ำหนักในแนวรัศมี
$t$	thickness of a plane element	ความหนาของэлементъแบบแผ่น
$T$	temperature function	ฟังก์ชันอุณหภูมิ
$T_\alpha$	free-steam temperature	อุณหภูมิของไอน้ำที่ไอล่อ (°K)
$U$	train energy	ค่าพลังงานเครียด
$\Delta U$	change in stored energy	การเปลี่ยนแปลงของพลังงานเครียด
$X$	body force matrix	เมทริกซ์ของแรงเนื่องจากน้ำหนัก

## สารบัญสัญลักษณ์และอักษรย่อ (ต่อ)

$\alpha$	coefficient of thermal expansion	สัมประสิทธิ์การขยายตัวเนื่องจากอุณหภูมิ ( $10^{-6}/^{\circ}\text{C}$ )
$\delta$	spring or bar deformation	การเสียรูปของสปริงหรือแท่งวัสดุ
$\varepsilon$	normal strain	ความเครียด
$\nu$	passion ratio	อัตราส่วนปัวซอง
$\Pi$	total potential energy	พลังงานศักย์ทั้งหมด
$\Omega$	potential energy of forces	พลังงานศักย์เนื่องจากแรง
$\tau$	shear stress	ความคืบหน้า
$\psi$	general displacement function matrix	เมทริกซ์ของฟังก์ชันการเสียรูปทั่วไป
$\mathbf{e}$	local coordinate system matrix	เมทริกซ์พิกัดเฉพาะที่
$\mathbf{g}$	global coordinate system matrix	เมทริกซ์พิกัดรวม
$[ ]$	rectangular or a square matrix	เมทริกซ์สี่เหลี่ยม
$\{ \}$	column matrix	เมทริกซ์แนว



บทที่ 1

ໜາກ

## 1.1 ที่มาและความสำคัญของโครงการ

ประเทศไทยในปัจจุบันได้มีการพัฒนาทางด้านเศรษฐกิจและด้านสังคมเป็นไปอย่างรวดเร็ว มีจำนวนประชากรเพิ่มมากขึ้น ทำให้การขยายตัวของชุมชนไปสู่ชานเมือง มีการพัฒนาระบบทนส่งมวลชน โทรคมนาคม ตลอดจนยานพาหนะ ให้มีความสะดวกรวดเร็ว และทันสมัย เพื่อรองรับการขยายตัวของเศรษฐกิจ และการเพิ่มขึ้นของประชากร เมื่อเศรษฐกิจมีความเจริญเติบโตอย่างรวดเร็ว การคุณภาพชีวิตของคนที่นี่เพิ่มมากขึ้นตามไปด้วยและปัจจุบันที่เกิดตามมาคือ ปัญหาด้านอุบัติเหตุทาง交通事故 โน้มสูงขึ้น ส่งผลให้เกิดความสูญเสียทั้งชีวิต ร่างกาย ตลอดจนทรัพย์สินอย่างประเมินค่าไม่ได้ เป็นผลเสียต่อการพัฒนาประเทศไทยอย่างมากในเชิงประยุกต์ ให้ทำให้ในปัจจุบันมีพากะแบบต่างๆ บนท้องถนนเป็นจำนวนมาก อาทิ เช่น รถบรรทุกแบบต่างๆ รถชนต้นไม้ ส่วนบุคคล รถชนตับรถหักส่วนบุคคล รถจักรยานยนต์ ซึ่งพากะแต่ละรูปแบบย่อมมีความหนาแน่นและมีความปลอดภัยต่อการใช้งานที่แตกต่างกันออกไป

หากตารางที่ 1.1 ซึ่งแสดงจำนวนรถที่จดทะเบียนใหม่ในช่วง 10 ปีที่ผ่านมาตั้งแต่ พ.ศ 2542 ถึง พ.ศ 2551 พบว่ามีการจดทะเบียนรถใหม่เพิ่มขึ้นในรุ่นท้ายประภาก็งทำให้เกิดการจราจรติดขัดจากการเพิ่มมากขึ้นและทำให้เกิดอุบัติเหตุเพิ่มมากขึ้นตามไปด้วย จากข้อมูลสถิติก็อุบัติเหตุจราจรทางบก ของสำนักงานตำรวจนครบาลฯ ในปี พ.ศ.2547 ได้รับแจ้งการเกิดอุบัติเหตุจำนวน 124,530 ราย มีผู้เสียชีวิตจำนวน 13,766 คน ได้รับบาดเจ็บจำนวน 94,164 คน นุสค่าหัวรพ์สินที่ได้รับความเสียหายมีนุสค่ารวม 1,623,081,112 บาท มีพาหนะที่เกิดอุบัติเหตุทั้งหมด จำนวน 196,967 คัน ประเภทของพาหนะที่เกิดอุบัติเหตุมากที่สุดคือ รถจักรยานยนต์จำนวน 77,642 คัน รองลงมาเป็นรถชนต้นที่ส่วนบุคคลจำนวน 46,658 คัน ส่วนสาเหตุที่ทำให้เกิดอุบัติเหตุของรถมากที่สุดเกิดจากการขับรถเร็วเกินกว่าอัตราที่กฎหมายกำหนดจำนวน 21,332 ราย รองลงมาเกิดจากการขับรถตัดหน้าในระยะกระชั้นชิด จำนวน 15,520 ราย และในปี พ.ศ. 2548 ได้รับแจ้งการเกิดอุบัติเหตุ จำนวน 122,040 ราย มีผู้เสียชีวิตจำนวน 12,858 คน ผู้ได้รับบาดเจ็บจำนวน 94,364 คน ทรัพย์สินที่ได้รับความเสียหายมีนุสค่ารวม 3,238,226,110 บาท มีพาหนะที่เกิดอุบัติเหตุทั้งหมด จำนวน 183,336 คัน ประเภทของพาหนะที่เกิดอุบัติเหตุมากที่สุดคือ รถจักรยานยนต์จำนวน 78,830 คัน รองลงมาเป็นรถชนต้นที่ส่วนบุคคลจำนวน 43,527 คัน สาเหตุการเกิดอุบัติเหตุจราจรมากที่สุดเกิดจากการขับรถเร็วเกินกำหนด จำนวน 18,349 ราย รองลงมาเกิดจากการขับรถตัดหน้าในระยะกระชั้นชิดจำนวน 16,550 ราย (สำนักงานตำรวจนครบาลฯ, 2548) จากสถิติการ

เสียชีวิต ได้รับบาดเจ็บ และความเสียหายในทรัพย์สิน ดังกล่าวข้างต้น นับว่าอุบัติเหตุราชการ ซึ่งเป็นปัญหาสาธารณสุขที่สำคัญที่สุดปัญหานึงของประเทศไทย ในปีแต่ละปี ได้ก่อให้เกิดความสูญเสียทั้งชีวิต ร่างกาย และทรัพย์สินจำนวนมาก ส่งผลให้ประเทศขาดโอกาสในการแข่งขันและสืบเปลือยองทรัพยากรของประเทศชาติอย่างมหาศาล

ตารางที่ 1.1 จำนวนรถจักระเมียในหมู่ภาษาไทยราชบัณฑุรัตน์ พ.ศ 2522 (หน่วย : พันคัน)

ประเภทของรถ	ปี พ.ศ.									
	2542	2543	2544	2545	2546	2547	2548	2549	2550	2551
รถยนต์นั่งส่วนบุคคลไม่เกิน 7 คน	76	103	136	181	231	285	315	305	306	329
รถยนต์ที่นั่งส่วนบุคคลเกิน 7 คน	6	10	14	15	15	14	15	16	21	21
รถยนต์บรรทุกส่วนบุคคล	107	133	122	167	232	289	329	328	308	288
รถจักรยานยนต์	497	683	850	1,187	1,643	1,944	2,012	2,002	1,665	1,796
รถอื่นๆ	8	10	10	13	13	17	21	28	40	61
<b>รวม</b>	<b>694</b>	<b>939</b>	<b>1,132</b>	<b>1,564</b>	<b>2,134</b>	<b>2,549</b>	<b>2,691</b>	<b>2,676</b>	<b>2,341</b>	<b>2,496</b>



รูปที่ 1.1 อุบัติเหตุราชการ

จากรูปที่ 1.1 แสดงให้เห็นการเกิดอุบัติเหตุราชการระหว่างรถยนต์บรรทุกส่วนบุคคล (รถกระบะ) และรถยนต์นั่งส่วนบุคคลไม่เกิน 7 คน (รถเก๋ง) ในลักษณะการชนที่ด้านหน้า ซึ่งเป็นกรณีที่เกิดขึ้นมากที่สุดในอุบัติเหตุราชการและมีความรุนแรงมากที่สุดด้วย จึงมีการศึกษาถึงการเกิดอุบัติเหตุในรูปแบบนี้เป็นจำนวนมาก และมีการออกแบบอุปกรณ์เสริมความปลอดภัยในการใช้รถยนต์ เช่น ระบบเบรก ABS หรือ ถุงลมนิรภัย รวมทั้งการออกแบบโครงสร้างที่สามารถลดความรุนแรงเมื่อเกิดอุบัติเหตุลงได้ เช่น โครงสร้างนิรภัย ระบบพวงมาลัยบูรพา หรือ ฝากระโปรงที่ดูดซับแรงกระแทก

กันชนหน้าของรถกระะเป็นอุปกรณ์ที่ถูกติดตั้งเสริมเข้ามาเพื่อความสวยงามและป้องกันการกระแทกที่ส่วนหน้าของตัวถังอีกทั้งสามารถดูดซับแรงกระแทกหากเกิดการชนกระแทกໄต้อีกด้วย แต่จากการศึกษาข้อมูลเบื้องต้นพบว่าข้อมูลที่เกี่ยวข้องกับการศึกษาการชนกระแทกของกันชนหน้ารถกระะยังมีอยู่น้อยมาก ผู้ดำเนินโครงการจึงสนใจที่จะศึกษาพัฒนาระบบที่เกิดขึ้นในระหว่างการเกิดอุบัติเหตุแบบชนกระแทกร่วมทั้งจะได้ศึกษาถึงการเปลี่ยนแปลงความเร่งที่เกิดขึ้นในระหว่างการเกิดอุบัติเหตุอีกด้วยเพื่อให้เป็นข้อมูลสำหรับการพัฒนาให้ผู้ขับขี่และผู้โดยสารมีความปลอดภัยในการใช้งานรถกระะเพิ่มมากขึ้น

## 1.2 วัตถุประสงค์

เพื่อศึกษาพัฒนาระบบที่เกิดขึ้นในระหว่างการชนกระแทกค้านหน้าในแนวตรง

## 1.3 ขอบเขตของโครงการ

1.3.1 ศึกษาการเสียรูปและความเร่งของกันชนหน้ารถชนตัวบรรทุกในการชนกระแทกด้วยระเบียงวิชีไฟในต่อเนื่อง

1.3.2 การชนกระแทกเป็นการชนของกันชนหน้ารถชนตัวบรรทุกในแนวตรงที่สำคัญที่สุด

1.3.3 กันชนหน้ารถชนตัวบรรทุกทำจากเหล็ก

1.3.4 ทำการศึกษาที่ความเร็วชนกระแทกจำนวน 5 ค่า

1.3.5 ทำการศึกษาความหนาของกันชนจำนวน 3 ค่า

## 1.4 ประโยชน์ที่คาดว่าจะได้รับ

1.4.1 พัฒนาระบบที่เกิดขึ้นในระหว่างการชนกระแทกค้านหน้าในแนวตรง

1.4.2 การเปลี่ยนแปลงความเร่งของกันชนหน้ารถชนตัวบรรทุกเมื่อเกิดอุบัติเหตุในลักษณะการชนกระแทกค้านหน้าในแนวตรง

## 1.5 ขั้นตอนการดำเนินงาน

ในการดำเนินงานของโครงการปริญญาบัณฑิตศึกษาการเสียรูปและความเร่งของกันชนหน้ารถพบตัวบรรทุกในกรอบกระบวนการนี้เพื่อให้การดำเนินงานเป็นไปได้ตามความเรียบร้อยที่ได้กำหนดขั้นตอนการดำเนินงานเป็นดังนี้

### 1.5.1 ศึกษาข้อมูลที่เกี่ยวข้อง

1.5.1.1 ศึกษาข้อมูลที่เกี่ยวข้องซึ่งประกอบด้วย ความเร็วชนกระแทก ข้อมูลของกันชนและรถยนต์บรรทุกที่ทำการศึกษา

1.5.1.2 ศึกษาการใช้งานของโปรแกรม อัตโนมัติ เช่น การสร้างข้อมูลป้อนเข้า การนำออกผลลัพธ์และการกำหนดเงื่อนไขการจำลองสภาพ

### 1.5.2 ทำการทดสอบดึงแผ่นเหล็กทดสอบ

1.5.2.1 จัดเตรียมชิ้นตัวอย่างทดสอบดึงตามมาตรฐานการทดสอบดึง

1.5.2.2 ทดสอบดึงตามมาตรฐานการทดสอบดึง

1.5.2.3 สรุปข้อมูลคุณสมบัติวัสดุจากการทดสอบดึง

1.5.3 จำลองสภาพการชนกระแทก

1.5.3.1 สร้างแบบจำลองของกันชนหน้าและชิ้นส่วนอื่นที่เกี่ยวข้อง รวมถึงกำหนดเงื่อนไขของการจำลองสภาพการชนกระแทก

1.5.3.2 ทำการจำลองสภาพการชนกระแทกของแบบจำลองโดยปรับเปลี่ยนตัวแปรที่สนใจในการศึกษาซึ่งประกอบด้วย

1.5.3.2.1 เปลี่ยนค่าความเร็วชนกระแทกจำนวน 5 ค่า

1.5.3.2.2 เปลี่ยนค่าความหนาของแบบจำลองกันชนจำนวน 3 ค่า

### 1.5.4 วิเคราะห์และสรุปผลการจำลองสภาพ

### 1.5.5 จัดทำเล่มปริญญาบัณฑิต

## 1.6 ระยะเวลาและแผนการดำเนินงาน

โครงการปริญญาบัณฑิตศึกษาการเสียรูปและความเร่งของกันชนหน้ารถในกรอบกระบวนการนี้จะใช้ระยะเวลาดำเนินการทั้งสิ้น 10 เดือน โดยสามารถแบ่งขั้นตอนการดำเนินงานเป็นดังแสดงในตารางที่ 1.2

### ตารางที่ 1.2 แสดงระยะเวลาและแผนปฏิบัติงานในการดำเนินโครงการ

การดำเนินงาน	2553			2554						
	ต.ค.	พ.ย.	ธ.ค.	ม.ค.	ก.พ.	มี.ค.	มี.ย.	ก.ค.	ส.ค.	ก.ย.
1. ศึกษาข้อมูลที่เกี่ยวข้อง		←	→							
2. ทำการทดสอบดึงแผ่นโลหะ		←	→							
3. จำลองสภาพการชน กระแทก				←	→					
4. วิเคราะห์และสรุปผลการ จำลองสภาพ							←	→		
5. จัดทำเก็บปริญญา尼พนธ์							←	→		

### 1.7 สถานที่ปฏิบัติงาน

โครงการปริญญา尼พนธ์การเสียรูปและความเร่งของกันชนหน้ารถยกทั่วทุกในการชน  
กระแทกแนวตรงนี้จะได้ดำเนินการ ณ ภาควิชาศิวกรรมเครื่องกล คณะศิวกรรมศาสตร์ มหาวิทยาลัย  
นเรศวร

### 1.8 อุปกรณ์ที่ใช้

โครงการปริญญา尼พนธ์การเสียรูปและความเร่งของกันชนหน้ารถยกทั่วทุกในการชน  
กระแทกแนวตรงนี้มีอุปกรณ์ที่จำเป็นต้องใช้ในการดำเนินโครงการประกอบด้วย

- 1.8.1 เครื่องคอมพิวเตอร์สำหรับการประมวลผลการจำลองสภาพ
- 1.8.2 เครื่องทดสอบดึงสำหรับการทดสอบคุณสมบัติวัสดุของแผ่นเหล็ก

### 1.9 งบประมาณที่ใช้

โครงการปริญญา尼พนธ์การเสียรูปและความเร่งของกันชนหน้ารถยกทั่วทุกในการชน  
กระแทกแนวตรงนี้มีค่าใช้จ่ายในการดำเนินโครงการซึ่งสามารถจำแนกได้ดัง

- |                                      |                 |
|--------------------------------------|-----------------|
| 1.9.1 ค่าแผ่นเหล็กสำหรับทดสอบดึง     | จำนวน 1,000 บาท |
| 1.9.2 ค่าใช้จ่ายจัดทำเล่มปริญญา尼พนธ์ | จำนวน 1,000 บาท |
| รวมทั้งสิ้น                          | 2,000 บาท       |

## บทที่ 2

### หลักการและทฤษฎีเบื้องต้น

ในการวิเคราะห์ปัญหาที่เกี่ยวข้องกับการชนกระแทกนั้นค่อนข้างมีความซับซ้อนเนื่องจากปัญหาประเภทนี้ประกอบด้วยพุทธิกรรมทางกลศาสตร์หลายประเพณญาทิเช่น การเปลี่ยนตำแหน่งและความเร็ว การถ่ายทอดโน้มnenต์ตัน ความแข็งแรงของวัสดุ รวมทั้งลักษณะของปัญหาอุบัติเหตุที่ให้เป็นแบบขึ้นกับเวลาที่เกิดขึ้นในช่วงเวลาที่น้อยมาก (ระดับมิลลิวินาที) ดังนั้นหากวิเคราะห์ปัญหาด้วยทฤษฎีดั้งเดิม (Classical theory) จะทำให้ไม่สามารถแก้ปัญหาที่มีรูปแบบซับซ้อนได้ อथิเช่น การออกแบบหัวไม้ตีถูกกอกดัฟ การวิเคราะห์ความเสียหายจากการพุ่งชนของถุงกระถุงปืน หรือการวิเคราะห์ความเสียหายจากอุบัติเหตุรถชนต้น ระบะบินวิชีไฟในต์ออลิเมนต์เป็นคร่องมือแบบหนึ่งที่ได้รับความนิยมในการนำมาใช้วิเคราะห์ปัญหาทางด้านวิศวกรรมเนื่องจากสามารถวิเคราะห์ปัญหาที่มีรูปแบบที่ซับซ้อนได้แต่ได้ถูกนำมาใช้ในปัญหานำกระแทกที่มีความซับซ้อนทั้งในด้านของรูปร่าง เสื่อนไขของปัญหา และคุณสมบัติของวัสดุ ได้อ่ายมีประสิทธิภาพ

การศึกษาด้านทฤษฎีของการทำปฏิสูญานิพนธ์นี้จึงประกอบด้วยพื้นฐานของทฤษฎีการกระแทก-สัมผัส ทฤษฎีของพลังงานเครี่ยด จากนั้นจึงเป็นการทำความเข้าใจพื้นฐานของระบบวิชีไฟในต์ออลิเมนต์ สุดท้ายเป็นการศึกษาถึงคุณสมบัติของวัสดุที่นำมาใช้งาน

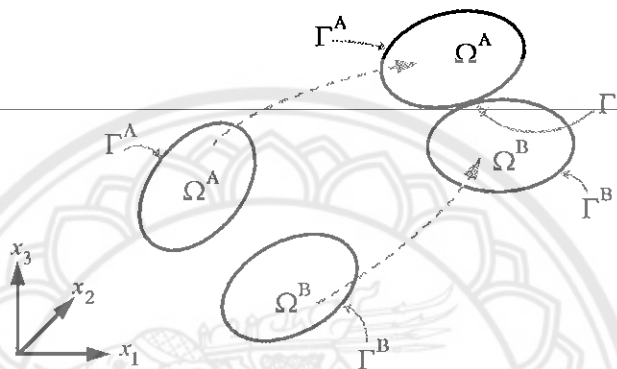
#### 2.1 ทฤษฎีการกระแทก-สัมผัส(Impact-Contact theory)

การกระแทก-สัมผัสเป็นเหตุการณ์ที่มีวัตถุอย่างน้อยสองชิ้นไปคลื่อนที่เข้ามาสัมผัสกันและมีปฏิกิริยาพันธ์ทายกระหว่างกันและกัน โดยเมื่อเหตุการณ์กระแทก-สัมผัสถันสุดลงแล้ววัตถุที่อยู่ในเหตุการณ์อาจซึ้งเคลื่อนที่ติดไปด้วยกันหรือเคลื่อนที่แยกออกจากกันก็ได้ การทำความเข้าใจถึงพุทธิกรรมการกระแทก-สัมผัสระหว่างวัตถุจะทำให้ทราบถึงปฏิกิริยาพันธ์ทายกระกันที่วัตถุทั้งสองมีต่อกัน และการตอบสนองของวัตถุที่อยู่ในรูปแบบของการเคลื่อนที่และการเสียงรูป

##### 2.1.1 พื้นฐานการกระแทก-สัมผัส

โดยทั่วไปแล้วในเหตุการณ์ที่มีการกระแทก-สัมผัสนั้นอาจมีวัตถุจำนวนหลาบขึ้นที่เข้ามาสัมผัสกัน แต่ในการอธิบายขั้นต้นของการกระแทก-สัมผัสระบุถ้วนถี่การสัมผัสถันระหว่างวัตถุ 2 ชิ้น ซึ่งเป็นจำนวนวัตถุที่น้อยที่สุดในการเกิดเหตุการณ์กระแทก-สัมผัส โดยเหตุการณ์จะเริ่มจากวัตถุสองชิ้นเคลื่อนที่เข้ามาชนกระแทกกันซึ่งจุดนี้จะเป็นการเริ่มต้นของการสัมผัส จากนั้นวัตถุทั้งสองจะเคลื่อนที่ติด

ไปด้วยกันด้วยความเร็วสัมพัทธ์ ในช่วงขณะนี้วัตถุทั้งสองจะมีการถ่ายเทโน้มเนนต์ดันให้แยกกันโดยทำให้แรงดันที่เกิดจากการสัมผัสกันของวัตถุอย่างเพิ่มขึ้นและทำให้ความเร็วของวัตถุทั้งสองเกิดการเปลี่ยนแปลง เมื่อการถ่ายเทโน้มเนนต์ดันลื้นสุดลงวัตถุทั้งสองจะเคลื่อนที่แยกออกจากกันด้วยความเร็วที่แตกต่างกันหรือใกล้เคียงกันขึ้นอยู่กับเงื่อนไขของเหตุการณ์ที่เกิดขึ้น ทั้งนี้แรงดันที่เกิดขึ้นระหว่างวัตถุทั้งสองนี้จะเป็นตัวที่ทำให้วัตถุเกิดการเสียรูปหรืออาจทำให้เกิดความเสียหายและเป็นตัวที่ทำให้เกิดการเปลี่ยนแปลงทิศทางการเคลื่อนที่อีกด้วย ซึ่งโดยทั่วไปแล้วเหตุการณ์การชนกระแทกที่เกิดขึ้นดังแต่เข้าสัมผัสจะแยกออกจากกันจะใช้ระยะเวลาเพียงไม่มีกิโลวินาที



รูปที่ 2.1 แบบจำลองการสัมผัสกันระหว่างวัตถุ A และ B

จากรูปที่ 2.1 ชี้明แสดงวัตถุสองชิ้นคือวัตถุ A และ B เครื่องล่อนที่เข้ามาสัมผัสกันในระหว่าง 3 มิติ โดยกำหนดให้วัตถุ A และ B มี สัญญาณ (Configuration) เป็น  $\Omega^A$  และ  $\Omega^B$  ตามลำดับ และกำหนดให้วัตถุทั้งสองมีขอบเขต (Boundary) เป็น  $\Gamma^A$  และ  $\Gamma^B$  ตามลำดับ โดยที่  $\Omega^A$  และ  $\Omega^B$  คือ เซตของพิกัด (Coordinate) ต่างๆ ที่กำหนดเป็นรูปร่างของวัตถุ A และ B ตามลำดับ ส่วน  $\Gamma^A$  และ  $\Gamma^B$  คือ เซตของพิกัดต่างๆ ที่อยู่บนพื้นผิว (Surface) หรือขอบ (Edge) ของวัตถุ A และ B ตามลำดับ ทั้งนี้เซตต่างๆ เหล่านี้อาจเป็นเซตของพิกัดใน 2 หรือ 3 มิติ ก็ได้แล้วแต่ลักษณะของปัญหาที่วิเคราะห์

เมื่อวัตถุทั้งสองเคลื่อนที่เข้ามาสัมผัสกันแล้วเริ่มที่ขอบเขตของวัตถุสัมผัสกันนี้กำหนดให้เป็น  $\Gamma^C$  โดยความสัมพันธ์ของเซตที่ใช้กำหนดการสัมผัสดัง

$$\Gamma^A \cap \Gamma^B = \Gamma^C \quad (g)$$

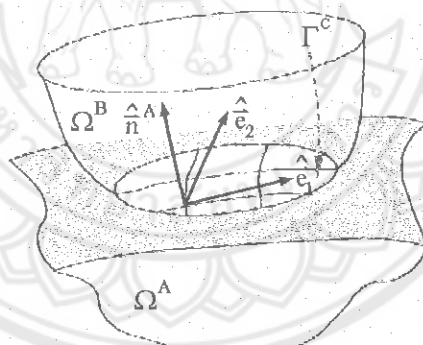
โดยความสัมพันธ์ (g) หมายความว่าหากมีการสัมผัสเกิดขึ้นแล้ว  $\Gamma^C$  จะเป็นเซตพิกัดของพื้นผิวที่วัตถุ A และ B สัมผัสกันร่วมที่อยู่บนพื้นผิวทั้งวัตถุ A และ B แต่หาก  $\Gamma^C$  เป็นเซตว่าง (Null set) หมายความว่าไม่มีการสัมผัสดเกิดขึ้น

จากข้างต้นจะพบว่าการสัมผัสจะเกิดขึ้นที่พื้นผิวของวัตถุทั้งสองขึ้นที่สัมผัสกัน ดังนี้เพื่อให้เกิดความสะดวกต่อการระบุชื่อพื้นผิวที่เกี่ยวข้องจึงกำหนดชื่อเรียกพื้นผิวทั้งสองเป็น ผิวหลัก (Master surface) และ ผิวรอง (Slave surface) โดยต่อจากนี้ไปจะกำหนดให้พื้นผิวของวัตถุ A เป็นผิวหลัก ส่วนพื้นผิวของวัตถุ B เป็นผิวรอง สำหรับแนวทางการกำหนดผิวหลักและผิวรองจะได้กล่าวถึงในส่วนต่อไป จากการกำหนดการเรียกชื่อผิวดังกล่าวจึงเพิ่มเติมการเรียกชื่อวัตถุ A และ B เป็น วัตถุหลัก (Master body) และ วัตถุรอง (Slave body) ทั้งนี้นับวิเวทที่ผิวหลักและผิวรองสัมผัสกันชี้เรียกว่า ผิวสัมผัส (Contact surface) ในทางกายภาพแล้วผิวสัมผัสนี้อยู่ทั้งที่ผิวหลักและผิวรอง แต่ในการวิเคราะห์ทางคณิตศาสตร์จะกำหนดให้ผิวสัมผัสอยู่บนผิวหลักเพื่อให้การกำหนดเครื่องหมายต่างๆ เป็นไปในทิศทางเดียวกัน ดังนั้น  $\Gamma^C$  จึงเป็นเขตของพิกัดของผิวหลักที่สัมผัสกันผิวรอง

เงื่อนไขสำคัญหนึ่งของการวิเคราะห์เชิงคณิตศาสตร์ในปัญหากระแทก-สัมผัสคือ วัตถุทั้งสองที่เข้ามาสัมผัสกันจะต้องไม่มีส่วนใดแทรกทะลุ (Penetrate) กัน โดยสามารถเขียนเป็นความสัมพันธ์ได้ดังนี้

$$\Omega^A \cap \Omega^B = \emptyset \quad (V)$$

ความสัมพันธ์ (V) นี้ถูกเรียกว่า เงื่อนไขการไม่สามารถแทรกทะลุ (Impenetrability)



รูปที่ 2.2 เวคเตอร์ในพิกัดเฉพาะที่ ณ ผิวสัมผัส ข้างอิงจากผิวหลัก

สำหรับการสร้างสมการเพื่อวิเคราะห์ปัญหากระแทก-สัมผัสจะอาศัยการสร้างเวคเตอร์ในพิกัดเฉพาะที่ (Local coordinate) ณ บริเวณผิวสัมผัส ดังแสดงในรูปที่ 2.2 ซึ่งตัวกำหนด (Notation) ต่างๆ ที่กล่าวถึงต่อไปนี้เป็นการอ้างอิงจากวัตถุหลัก โดยที่  $\hat{n}$  คือตัว  $\hat{n}$  บนผิวสัมผัสจะสามารถสร้างเวคเตอร์สัมผัสที่นี่หน่วยให้เป็น  $\hat{e}_1$  และ  $\hat{e}_2$  สำหรับเวคเตอร์ทั้งคู่หากหน่วยคือ  $\hat{n}^A$  โดยที่

$$\hat{n}^A = \hat{e}_1 \times \hat{e}_2 \quad (1)$$

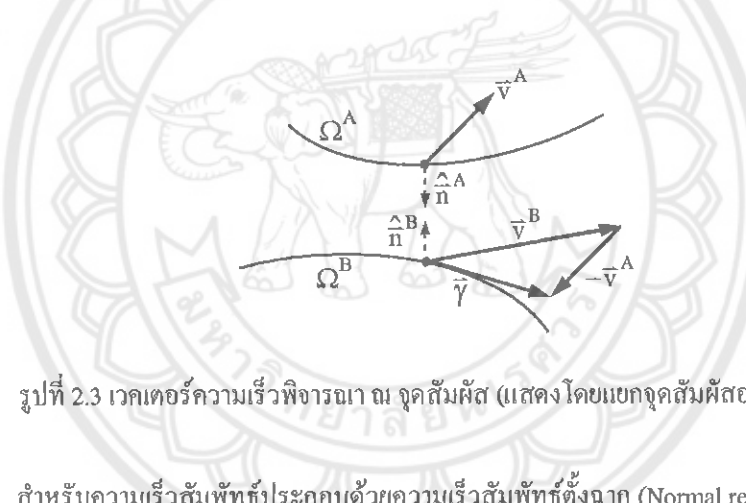
ดังนั้นเมื่อพิจารณาที่ผิวรองก็จะมีเวคเตอร์หน่วยทั้งสามคือ

$$\hat{n}^A = -\hat{n}^B \quad (2)$$

ขณะเดียวกันทั้งสองเคลื่อนมาสัมผัสกันนั้น เมื่อพิจารณาบน จุดที่วัดถูกทั้งสองสัมผัสกันจะมีความเร็วที่เกี่ยวข้อง กือ ความเร็วของวัตถุหลัก ( $\vec{v}^A$ ) ความเร็วของวัตถุรอง ( $\vec{v}^B$ ) และความเร็วสัมพัทธ์ ( $\vec{\gamma}$ ) ดังแสดงในรูปที่ 2.3 โดยความเร็วของวัตถุหลักและวัตถุรอง เป็นดังสมการ (3) และ (4) ตามลำดับ

$$\vec{v}^A = v_N \hat{n}^A + v_1 \hat{e}_1 + v_2 \hat{e}_2 = v_N \hat{n}^A + \vec{v}_T^A \quad (3)$$

$$\vec{v}^B = v_N \hat{n}^B + v_1^B \hat{e}_1 + v_2^B \hat{e}_2 = -v_N \hat{n}^B + \vec{v}_T^B \quad (4)$$



รูปที่ 2.3 เวคเตอร์ความเร็วพิจารณา จุดสัมผัส (แสดงโดยแบ่งกุชสัมผัสออกกัน)

สำหรับความเร็วสัมพัทธ์ประกอบด้วยความเร็วสัมพัทธ์ตั้งฉาก (Normal relative velocity,  $\gamma_N$ ) และความเร็วสัมพัทธ์สัมผัส (Tangential relative velocity,  $\gamma_T$ ) โดยเวคเตอร์ความเร็วทั้งสองเป็นตามสมการ (5) และ (6) ตามลำดับ

$$\vec{\gamma}_N = \gamma_N \hat{n}^A = ((\vec{v}^A - \vec{v}^B) \cdot \hat{n}^A) \hat{n}^A \quad (5)$$

$$\vec{\gamma}_T = (\gamma_T)_1 \hat{e}_1 + (\gamma_T)_2 \hat{e}_2 = \vec{v}_T^A - \vec{v}_T^B \quad (6)$$

โดยที่ความเร็วสัมพัทธ์ตั้งฉากจะถูกนำมาใช้พิจารณาการเกิดการสัมผัสระหว่างวัตถุทั้งสองในหัวข้อ เนื่องจากการไม่สามารถแท่งทั่วไป ส่วนความเร็วสัมพัทธ์สัมผัสจะถูกนำมาใช้พิจารณาการเกิดความเสียดทานที่ผิวสัมผัส

สำหรับแรงที่บริเวณผิวสัมผัสจะวิเคราะห์โดยอาศัยการลาก (Traction) ที่ถูกกำหนดด้วยความ เก็บค่าซี (Cauchy stress) ซึ่งเวคเตอร์การลาก (Traction vector) ที่บริเวณผิวสัมผัสของวัตถุสามารถ เขียนในแบบของตัวชี้ (Index) ได้ตามสมการ (7)

$$t_i = \sigma_{ij} n_j \quad (7)$$

โดยที่  $t_i$  และ  $n_j$  เป็นตัวระบุแกนซึ่งกระจากเป็น 1, 2 และ 3 สำหรับปีญญาใน 3 มิติ

$t_i$  คือ การลากในแกน

$\sigma_{ij}$  คือ ความต้านค่าในแกน

$n_j$  คือ เวคเตอร์ตั้งฉากหนึ่งหน่วยในแกน

จุดที่พิจารณา ที่นี่เวคเตอร์การลากสามารถแยกได้เป็นการลากตั้งฉาก (Normal traction,  $t_N$ ) และการลาก

สัมผัส (Tangential traction,  $t_T$ ) ซึ่งการลากตั้งฉากสามารถเขียนในรูปเวคเตอร์ได้เป็น

$$\vec{t}_N = t_N \hat{n} \quad (8)$$

สำหรับการลากสัมผัสสามารถเขียนในรูปของเวคเตอร์ได้เป็น

$$\vec{t}_T = \vec{t} - \vec{t}_N \quad (9)$$

ซึ่งการลากสัมผัสนี้จะถูกนำมาใช้ร่วมกับความเร็วสัมพัทธ์สัมผัสในการพิจารณาในหัวข้อของ แบบจำลองความเสียดทาน

### 2.1.2 เนื่องในการสัมผัส (Contact condition)

ในการพิจารณาปีญหาจะแยกตัวชี้วิธีการทางคณิตศาสตร์นั้นเป็นสองส่วนเมื่อเนื่องจาก เนื่องจากการสัมผัสนี้มาช่วยในการกำหนดให้ทราบว่าจะเกิดการสัมผัสนี้ในขณะใด โดยที่เนื่องในการสัมผัสที่ กำหนดนั้นนี้ประกอบด้วย

### ก. เงื่อนไขการไม่สามารถแทรกซึ้น

ในสภาวะที่มีการสัมผัสเกิดขึ้นนั้นเงื่อนไขข้างหนึ่งก็คือวัตถุทั้งสองจะต้องไม่มีส่วนใดส่วนหนึ่งแทรกซึ้นระหว่างกันซึ่งเป็นความสัมพันธ์ของเขตพิภูมิรูปร่างของวัตถุ A และ B ได้ตามความสัมพันธ์ ( $\gamma$ ) ดังแสดงข้างต้น แต่ทั้งนี้ความสัมพันธ์ ( $\gamma$ ) ซึ่งอยู่ในรูปความสัมพันธ์ของเขตนั้นไม่สามารถนำมาเขียนให้ออกในเทอมของการขัด ซึ่งต้องนำเทอมความเร็วสัมพัทธ์ตั้งคลาบมาใช้ในการพิจารณาแทน ทั้งนี้เมื่อนำความเร็วสัมพัทธ์ตั้งคลาบมาใช้ในการสร้างเงื่อนไขการไม่สามารถแทรกซึ้นได้ จึงเรียกชื่อใหม่เป็น อัตราการแทรกซึ้น (Interpenetration rate) โดยเมื่อพิจารณาที่บริเวณผิวสัมผัสจะได้ว่า อัตราการแทรกซึ้นจะกำหนดจากผลต่างของความเร็วตั้งคลาบของวัตถุทั้งสองที่องมีค่าน้อยกว่าศูนย์ตามสมการ (10)

$$\gamma_N \equiv v_N^A - v_N^B \leq 0 \quad (10)$$

โดยความหมายของสมการ (10) คือ เมื่อ  $\gamma_N = 0$  หมายถึงวัตถุทั้งสองอยู่ในสภาพที่สัมผัสนั้น และเมื่อ  $\gamma_N < 0$  หมายถึงวัตถุทั้งสองแยกออกจากกัน

### ข. เงื่อนไขการลาก (Traction condition)

เงื่อนไขการลากเป็นเงื่อนไขที่ใช้ในการวิเคราะห์ความเดินที่เกิดขึ้นที่ผิวสัมผัสของวัตถุทั้งสอง โดยกำหนดให้คือผลรวมของเวคเตอร์การลากที่เกิดขึ้นบนวัตถุทั้งสอง ณ บริเวณผิวสัมผัสจะมีค่าเป็นศูนย์ตามสมการ (11)

$$\bar{t}^A + \bar{t}^B = 0 \quad (11)$$

เมื่อพิจารณาเฉพาะองค์ประกอบในแนวตั้งจาก ด้วยการนำเวคเตอร์ตั้งฉากคด (Dot product) เข้าไปในสมการ (11) จะได้

$$t_N^A + t_N^B = 0 \quad (12)$$

จากลักษณะทางกายภาพของการสัมผัสจะพบว่าแรงที่เกิดขึ้นที่ผิวสัมผัสจะไม่สามารถเป็นแบบดึงได้ ดังนั้นการลากทั้งสองที่บริเวณผิวสัมผัสจะเป็นแบบกดเท่านั้น เมื่อนำสมการ (12) มาจัดรูปใหม่ โดยเขียนให้ออกในรูปของเงื่อนไขดังกล่าวจะได้สมการคือ

$$t_N \equiv t_N^A = -t_N^B \leq 0 \quad (13)$$

โดยสมการ (13) เมื่อพิจารณาแนวพาง  $t_N^A$  จะหมายความว่าการตอกเท็จนาทีที่เกิดขึ้นบนวัสดุ A นั้นมีค่าติดลบซึ่งหมายถึงการส่วนทิศกันทิศทางที่กำหนดไว้คือทิศทางของเวคเตอร์ทั้งสองที่มีทิศที่ออกจากผิวสัมผัสของวัสดุ A ดังนั้นการลากตั้งฉากจึงมีทิศที่เข้าไปในผิวสัมผัสหรือเป็นแนวกดนั่นเอง

### 2.1.3 วัตถุหลักและวัตถุรอง (Master and Slave bodies)

โดยทั่วไปในการวิเคราะห์เหตุการณ์ที่วัตถุ สองชิ้นเข้ามาสัมผัสกันจะมีการกำหนดชื่อเรียกของวัตถุทั้งสองเดียวกันเพื่อให้เกิดความสะดวกในการดำเนินการต่างๆ อาทิเช่น การกำหนดชนิดเดียวกันที่หรือ การกำหนดเส้นรับจัดตั้ง โดยชื่อที่เรียกใหม่นี้จะกำหนดให้วัตถุหนึ่งเป็นวัตถุหลัก และเรียกผิวของวัตถุรองนี้ว่าผิวรอง ทั้งนี้ แนวทางในการเลือกว่าจะให้วัตถุใดเป็นวัตถุหลักสามารถพิจารณาได้ดังนี้

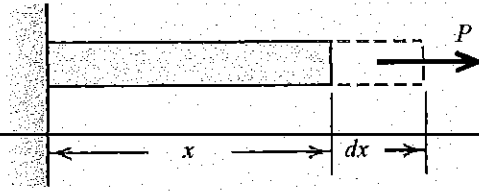
- วัตถุที่มีคุณสมบัติสำคัญที่แข็งแรงกว่านิยมกำหนดให้เป็นวัตถุหลัก
- แบบจำลองของวัตถุที่มีจำนวนเฉลี่มมากกว่านิยมกำหนดให้เป็นวัตถุหลัก
- ผิวที่กำหนดเป็นแบบแข็งกรึงนิยมกำหนดให้เป็นผิวหลัก

### 2.2 พลังงานเครียด (Strain Energy)

เมื่อวัสดุถูกกระทำด้วยภาระจากภายนอก งานอัมกิดจากการตั้งกล้าวถูกเรียกว่า พลังงานเครียด (Strain energy, U) ซึ่งหาได้จากความสัมพันธ์ระหว่างภาระภายนอกและระยะหักที่เกิดขึ้น เมื่อพิจารณาจากรูปที่ 2.4 ซึ่งเป็นแห่งทรงที่รับภาระภายนอกเป็น  $P$  แล้วยึดอุปกรณ์ประจำ  $d$  พลังงานเครียดจะสามารถหาได้จากการ

$$U = \int P dx \quad (14)$$

พลังงานเครียดที่เกิดขึ้นนี้จะถูกสะสมอยู่ภายในเนื้อวัสดุของหากว่าวัสดุหรือชิ้นงานมีการเดินรูปแค่เพียงในช่วงยืดหยุ่นแล้วคืนตัวกลับสู่รูปร่างเดิมพลังงานเครียดที่จะหายไปแต่หากการเดินรูปเกินกว่าช่วงยืดหยุ่นเข้าสู่ช่วงพลาสติก (Plasticity) ที่วัสดุไม่สามารถคืนตัวให้แล้วพลังงานเครียดจะถูกสะสมไว้ภายในวัสดุในรูปแบบการเดินรูปถาวร พลังงานส่วนนี้จะถูกเรียกว่าพลังงานเดินรูป (Deformation energy,  $E_D$ )



รูปที่ 2.4 แห่งทรงไตรั้บการภายนอก  $P$  ทำให้ขีดออกเป็นระยะ  $dx$

เมื่อพิจารณาการชนกระแทกที่มีวัตถุหนึ่งพุ่งชนกับวัตถุแข็งเครื่องที่ไม่สามารถดูดซับพลังงานเข้า กำแพงแข็งเครื่อง พนว่าก่อนการพุ่งชนนั้นตัววัตถุจะมีพลังงานจลน์อยู่ในตัวเอง เมื่อเกิดการชนกระแทก จนวัตถุเสียรูปและมีการเปลี่ยนแปลงความเร็วจะพบว่าในขณะนั้นพลังงานของวัตถุจะประกอบด้วย พลังงานเสียรูปและพลังงานจลน์ เมื่อพิจารณาการอนุรักษ์พลังงานก่อนและหลังการชนกระแทกจะได้ จากความสัมพันธ์ในสมการ (15)

$$E'_k = E_D + E''_k \text{ หรือ } \frac{1}{2}mv_{\text{before}}^2 = \int Pdx + \frac{1}{2}mv_{\text{after}}^2 \quad (15)$$

โดยที่  $E'_k$  คือ พลังงานจลน์ก่อนชนกระแทก  $E''_k$  คือ พลังงานจลน์หลังชนกระแทก และ  $v_{\text{before}}$  คือ ความเร็ว ก่อนชนกระแทก และ  $v_{\text{after}}$  คือ ความเร็วหลังชนกระแทก

### 2.3 ระเบียบวิธีไฟโน่ต์เอลิเมนต์ (Finite Element Method)

ระเบียบวิธีไฟโน่ต์เอลิเมนต์ (Finite Element Method: FEM) เป็นวิธีทางคณิตศาสตร์ (Numerical Method) ที่ถูกนำมาใช้ช่วยในการวิเคราะห์แบบแก้ปัญหาทางวิศวกรรม เช่น การวิเคราะห์ความเค้นที่เกิดขึ้นในชิ้นส่วนของรูปแบบต่างๆ หรือชิ้นส่วนของเครื่องจักร ซึ่งวิธีการวิเคราะห์ทางไฟโน่ต์เอลิเมนต์เป็นวิธีที่นิยมนำมาใช้แก้ปัญหาดังกล่าว ระเบียบวิธีไฟโน่ต์เอลิเมนต์จะสามารถประมาณค่าโดยการแก้สมการพิชิตแทนการแก้สมการเชิงอนุพันธ์ ในการแก้ปัญหาโครงสร้างหรือชิ้นงานที่จะพิจารณาจะถูกแบ่งออกเป็นชิ้นส่วนเล็กๆ (Element) ในจำนวนที่จำกัด (Finite) แล้วนำไปคำนวณค่าตอบโดยผลที่ได้จะเป็นค่าตอบที่จุดต่อ (Node) ระหว่างเอลิเมนต์ เมื่อนำมารวมกันก็สามารถหาค่าตอบของโครงสร้างได้ซึ่งจะให้ค่าตอบเป็นค่าของแรงเสียรูป แรงกระทำที่จุดต่อต่างๆ ค่าของความเค้น และความเครียด

#### 2.3.1 ขั้นตอนการวิเคราะห์ไฟโน่ต์เอลิเมนต์

ในการวิเคราะห์ด้วยระเบียบวิธีไฟโน่ต์เอลิเมนต์สามารถทำได้ 2 วิธีคือ วิธีแรงหรือวิธียืดหยุ่น (Force or Flexibility method) และ วิธีการเสียรูปหรือวิธีสติฟเนส (Displacement or Stiffness method) ซึ่ง

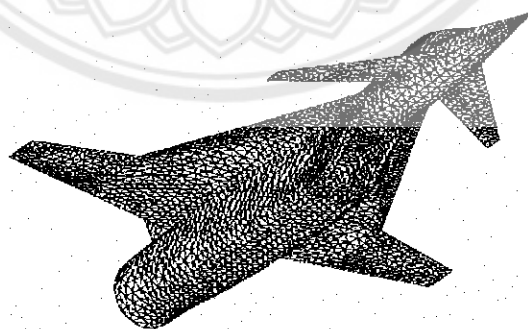
โดยทั่วไปวิธีที่สองจะนิยมใช้งานมากที่สุดกับการวิเคราะห์ด้วยการใช้คอมพิวเตอร์ และในที่นี้จะได้นำเสนอเฉพาะวิธีการเดียวกันนี้ ซึ่งมีขั้นตอนดังนี้

### 1. การสร้างแบบจำลองและเลือกประเภทของออดิเม้นต์

ในขั้นตอนนี้เป็นการสร้างชิ้นงานที่สนใจให้อยู่ในรูปของแบบจำลองซึ่งเรียกว่า แบบจำลองไฟไนต์ออดิเม้นต์ (Model) แล้วทำการแบ่งแบบจำลองออกเป็นออดิเม้นต์ย่อยๆ ซึ่งการเลือกประเภทของออดิเม้นต์ที่จะใช้นั้นต้องคำนึงถึงลักษณะของปัญหาว่าเป็นปัญหาแบบ 1 มิติ 2 มิติ หรือ 3 มิติ แล้วจึงเลือกใช้ออดิเม้นต์ประเภทที่สอดคล้องกับปัญหา เช่น ออดิเม้นต์คาน (Beam element สำหรับปัญหาใน 1 มิติ) ออดิเม้นต์เปลือก (Shell element สำหรับปัญหาใน 2 มิติ) หรือ ออดิเม้นต์เน็ง (Solid element สำหรับปัญหาใน 3 มิติ) ดังแสดงในรูปที่ 2.5 และเมื่อแบบจำลองถูกแบ่ง成ออดิเม้นต์แล้วจะมีลักษณะดังแสดงในรูปที่ 2.6



รูปที่ 2.5 ตัวอย่างออดิเม้นต์แบบต่างๆ



รูปที่ 2.6 ตัวอย่างการแบ่งแบบจำลองออกเป็นออดิเม้นต์ตีกๆ

## 2. เลือกฟังก์ชันของการเดียรูป

ขั้นตอนนี้เป็นการกำหนดฟังก์ชันของการเดียรูปว่าจะเป็นในลักษณะไหน เช่นแบบเชิงเส้น (Linear) หรือครอตราชิก (Quadratic) โดยในปัญหาแบบสองมิติ ฟังก์ชันการเดียรูปก็จะอยู่กับตัวแปรที่อยู่ในระนาบนั้นๆ ด้วย เช่นฟังก์ชันการเดียรูปอยู่ในแทนของ x-y

## 3. กำหนดความสัมพันธ์ระหว่างการเดียรูปและความเครียด และความสัมพันธ์ระหว่างความคื้นและความเครียด

ความสัมพันธ์ระหว่างการเดียรูปและความเครียด และความสัมพันธ์ระหว่างความคื้นและความเครียดเป็นสิ่งจำเป็นต่อการวิเคราะห์ไฟฟ้าในตัวอ่อนตัวเดียว ปัญหาใน 1 มิติ ความสัมพันธ์ระหว่างการเดียรูปและความเครียดเป็นดังสมการ (16)

$$\varepsilon_x = \frac{du}{dx} \quad (16)$$

สมการ (16) เป็นสมการสำหรับปัญหาที่มีการเดียรูปน้อย (Small displacement) ส่วนความสัมพันธ์ระหว่างความคื้นและความเครียดจะเป็นตามสมการ (17)

$$\sigma_x = E \varepsilon_x \quad (17)$$

โดยที่  $\sigma_x$  คือ ค่าความคื้นในแนวแกน x และ E คือ ค่าแข็งไมครัสของวัสดุ ทั้งนี้หากปัญหาที่พิจารณาไม่มีความซับซ้อนมากนักขึ้น เช่น ปัญหาใน 3 มิติหรือปัญหาแบบไม่เชิงเส้น ความสัมพันธ์ทั้งสองก็จะมีความซับซ้อนเพิ่มขึ้นตามไปด้วย

## 4. การหาสทธิไฟнесเมทริกซ์และสมการสทธิไฟнес

ในการหาสทธิไฟнесเมทริกซ์ของอเลิมอนต์ต้องประเกณและการหาค่าของแรงที่กระทำที่แต่ละอเลิมอนต์สามารถหาได้หลายวิธี อาทิเช่น

- วิธีสภาวะสมดุลโดยตรง (Direct Equilibrium Method) สทธิไฟнесเมทริกซ์และสมการของแต่ละอเลิมอนต์ซึ่งเป็นความสัมพันธ์ระหว่างแรงที่จุดต่อและการเดียรูปสามารถหาได้ด้วยการใช้หลักการของสภาวะสมดุล (Equilibrium) โดยที่วิธีนี้เป็นวิธีที่ง่ายที่สุดและเหมาะสมสำหรับอเลิมอนต์แบบ 1 มิติ

- วิธีงานหรือพลังงาน (Work or Energy Method) ใน การหาสทธิไฟнесเมทริกซ์และสมการสำหรับอเลิมอนต์แบบ 2 มิตินี้ สามารถหาได้ด้วยการใช้หลักการของงานเสมือน (Principle of virtual work) หรือหลักการของพลังงานศักย์ต่ำสุด (Principle of minimum potential energy) ในที่นี้จะใช้วิธีตามหลักการของพลังงานต่ำสุดเท่านั้น

- วิธีถ่วงน้ำหนักเศษตกด้าน (*Method of Weighted Residuals*) ถูกนำมาใช้ในการหาสมการของ เอลิเมนต์เรียกว่าวิธีของกาเลอร์คิน (*Gerlerkin's method*) โดยวิธีนี้จะให้ผลลัพธ์ดีกว่ากับวิธีทางพลังงาน แต่ส่วนมากจะถูกใช้ในปัญหาที่ไม่สามารถใช้วิธีทางพลังงานได้สะคาก เช่น ปัญหาทางการไฟฟ้าของ ไอล

จากการใช้วิธีข้างต้นจะสามารถสร้างเมทริกซ์ของสมการต่างๆ ของเอลิเมนต์ได้ เมื่อเขียนอยู่ใน รูปสมการของเมทริกซ์รวมจะได้ตามสมการ (18)

$$\{f\} = [k]\{d\} \quad (17)$$

โดยที่  $\{f\}$  คือ เมทริกซ์ของแรงที่กระทำที่แต่ละจุดต่อ  $[k]$  คือ ماتิฟเนสเมทริกซ์ของแต่ละเอลิ เมนต์ และ  $\{d\}$  คือ เมทริกซ์การขัดของแต่ละจุดต่อ

#### 5. รวมสมการของแต่ละเอลิเมนต์ให้เป็นสมการของภาพรวม และกำหนดสภาพที่ขึ้น

สมการสหพันสเมทริกซ์รวมและเมทริกซ์รวมของแรงสามารถหาได้โดยการรวมกันที่แต่ละจุด ต่อจากขั้นตอนที่ 4. เป้าด้วยกัน ด้วยวิธีทับซ้อน (*Superposition*) จะได้สมการรวมเป็น

$$\{F\} = [K]\{d\} \quad (18)$$

โดยที่

$$[K] = \sum_{e=1}^N \{k\} \quad (18.1)$$

$$\{F\} = \sum_{e=1}^N \{f\} \quad (18.2)$$

#### 6. การหาค่าการเสียรูปที่แต่ละโหนด

ค่าของ การเสียรูปของแต่ละจุดต่อสามารถคำนวณได้ เมื่อมีการใช้เงื่อนไขที่ขอนเข้าไปใน สมการ (18) โดยเมื่อระบุเมทริกซ์ออกมานะได้

$$\begin{pmatrix} F_1 \\ F_2 \\ F_3 \\ \vdots \\ F_n \end{pmatrix} = \begin{bmatrix} k_{11} & k_{12} & k_{13} & \cdots & k_{1n} \\ k_{21} & k_{22} & k_{23} & \cdots & k_{2n} \\ k_{31} & k_{32} & k_{33} & \cdots & k_{3n} \\ \vdots & \vdots & \vdots & & \vdots \\ k_{n1} & k_{n2} & k_{n3} & \cdots & k_{nn} \end{bmatrix} \begin{pmatrix} d_1 \\ d_2 \\ d_3 \\ \vdots \\ d_n \end{pmatrix} \quad (19)$$

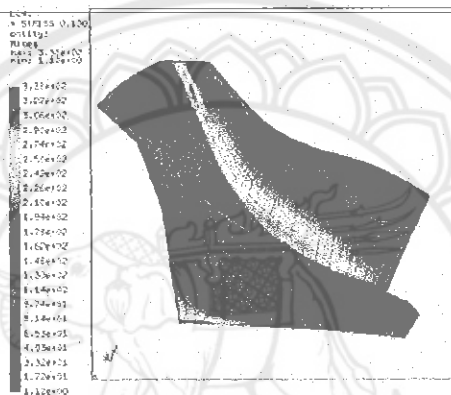
ซึ่งสามารถหาค่าตอบสำหรับค่าการเสียรูปได้โดยวิธีต่างๆ เช่น Gauss's method เป็นต้น

## 7. การหาค่าความเค้นและความเครียดที่เกิดขึ้นในอเลิเมนต์

เมื่อทำการเสียบูปหรือค่าของกราฟขั้ดได้แล้วจะสามารถหาค่าของความเครียดได้จากสมการ  
 (16) จากนั้นจึงสามารถคำนวณค่าของความเค้นได้จากสมการ (17) ซึ่งจะทำให้หาแรงที่กระทำที่แต่ละ  
 ชุดต่อไป

## 8. การแสดงผลการวิเคราะห์

ขั้นตอนนี้เป็นการนำการแสดงผลจากการวิเคราะห์ออกมาโดยอาจเป็นการแสดงในรูปของค่าของ  
 ตัวเลขที่ทุกต่อต่างๆ แต่โดยทั่วไปนิยมนำเสนอในรูปของภาพชิ้นงานที่แสดงผังระดับ (Contour) ของ  
 ข้อมูลที่ต้องการซึ่งจะมองถึงตำแหน่งที่มีค่าสูงสุดหรือต่ำสุดได้ดังแสดงในรูปที่ 2.7



รูปที่ 2.7 ภาพแสดงผังระดับของความเค้นบนชิ้นงานหนึ่งด้วยโปรแกรมแสดงผล

### 2.3.2 การวิเคราะห์พลังงานเสียบูปในระบบเบนวิชไฟฟ้าในตัวอเลิเมนต์

การวิเคราะห์พลังงานเสียบูปหรือพลังงานเครียดในการจำลองสภาพด้วยระบบเบนวิชไฟฟ้าในตัวอเลิเมนต์นั้นเป็นการการนำพลังงานเสียบูปจากทุกๆ ชุดต่อมารวมเข้าด้วยกัน โดยการคำนวณพลังงานนี้จะกระทำในทุกๆ ขั้นเวลา (Time step) ของการจำลองสภาพ แล้วจึงนำมารวมกัน สำหรับพลังงานเสียบูปในแต่ละขั้นเวลาได้จากสมการ

$$E^T = \sum_{i=1}^N (F_i \times \Delta d_i) \quad (20)$$

โดยที่  $E^T$  คือ พลังงานเสียบูปในขั้นเวลาปัจจุบัน  $N$  คือ จำนวนชุดต่อ  $N$  คือ แรงที่บุคคล มาก  $\Delta d_i$  คือ การขัดที่บุคคลที่เพิ่มขึ้นในขั้นเวลาปัจจุบัน

## 2.4 คุณสมบัติวัสดุ (Material property)

เหล็ก (Steel) เป็นโลหะประเภทหนึ่งในกลุ่มโลหะทั้งหมดที่มีการใช้งานมาเป็นเวลานานถึงแม้ในปัจจุบันจะมีวัสดุอื่นที่สามารถทำหน้าที่ทดแทนเหล็กได้แต่เหล็กก็ยังได้รับความนิยมและมีปัจจุบันเป็นอย่างมากในงานวิศวกรรม เหล็กสามารถแบ่งออกได้เป็นหลายชนิดตามลักษณะของการผลิตและส่วนผสมทางเคมี เช่น เหล็กกล้า เหล็กกล้าผสาน เหล็กหล่อและเหล็กหล่อเหลว ซึ่งเหล็กแต่ละชนิดก็จะมีคุณสมบัติพิเศษที่แตกต่างกันของกันไปแต่โดยทั่วไปแล้วคุณสมบัติที่ทำให้เหล็กถูกน้ำไปใช้งานอย่างแพร่หลายประกอบด้วย มีความแข็งแรงที่เหมาะสม สามารถนำไปทำงานได้สะดวก สามารถรับทั้งแรงในลักษณะต่างๆ ได้ดี มีรากฐานและสามารถกลับมาใช้ใหม่ได้ แต่ข้อด้อยของการสำักญาก็คือการเกิดออกไซด์ของเหล็กซึ่งทำให้ต้องระมัดระวังในการนำเหล็กไปใช้งาน จากข้อได้เปรียบของเหล็กซึ่งทำให้ถูกน้ำไปใช้งานเป็นอย่างมากโดยเฉพาะด้านงานโครงสร้าง งานก่อสร้าง การผลิตชิ้นส่วนทางอุตสาหกรรมและการผลิตชิ้นส่วนในอุตสาหกรรมยานยนต์ ซึ่งข้อมูลคุณสมบัติวัสดุของเหล็กที่สำคัญได้แสดงไว้ในตารางที่ 2.1

ตารางที่ 2.1 คุณสมบัติวัสดุของเหล็ก (Steel)

คุณสมบัติ	ค่า
- ความแข็งแรงคราก	240 MPa
- ความแข็งแรงดึง	410 MPa
- ค่า Young modulus (E)	200 GPa
- ค่า Shear modulus (G)	80 GPa
- เปอร์เซนต์การซีดใน 50 มิลลิเมตร	35%
- ความหนาแน่น	7850 kg/m <sup>3</sup>
- อัตราส่วนปัวซอง	0.27-0.30

ที่มา: Pytel, 1987

คุณสมบัติของวัสดุอีกประการหนึ่งที่สำคัญคือการศึกษาพฤติกรรมของวัสดุด้วยกระบวนการทางตัวเลขคือความสัมพันธ์ระหว่างความเค้นและความเครียดของเหล็กซึ่งจำเป็นต้องทำการทดสอบดึงซึ่งตัวอย่างทดสอบเหล็กแผ่นโดยขึ้นตอนการเตรียมตัวอย่างทดสอบ การดำเนินการทดสอบ การเก็บข้อมูลจากการทดสอบนั้นสามารถอ้างอิงได้จากมาตรฐานการทดสอบของ American Society for Testing and Materials (ASTM) รหัสการทดสอบ E8-04 ชื่อการทดสอบคือ Standard Test Methods for Tension Testing of Metallic Materials

## บทที่ 3

### วิธีการดำเนินงาน

ในการดำเนินงานของโครงการปริญญาดิพันธ์การศึกษาการสีบูรพาและความเร่งของกั้นชนหน้า รถบนตัวบรรทุกในการชนกระแทกแนวตรงนี้เพื่อให้การดำเนินงานเป็นไปด้วยความเรียบร้อยจึงได้กำหนดขั้นตอนการดำเนินงานเป็นดังนี้

#### **3.1 ศึกษาข้อมูลที่เกี่ยวข้อง**

การดำเนินงานในขั้นตอนการศึกษาข้อมูลที่เกี่ยวข้องนี้มี 2 ส่วน คือ การศึกษาข้อมูลทั่วไปที่เกี่ยวข้องและการศึกษาการใช้งานของโปรแกรม

**3.1.1 การศึกษาข้อมูลทั่วไปที่เกี่ยวข้อง** เป็นการศึกษาถึงข้อมูลทั่วไปที่เกี่ยวข้องกับการศึกษา การชนกระแทก ข้อมูลสำคัญที่จะได้ศึกษาจึงประกอบด้วย

ก. ความเร็วชนกระแทกซึ่งเป็นความเร็วที่เป็นมาตรฐานการทดสอบที่ใช้ในการทดสอบชน กระแทกเพื่อศึกษาการเกิดอุบัติเหตุของรถบนตัว

ข. ลักษณะและรูปร่างของกั้นชนหน้า เนื่องจากกั้นชนหน้ารถบนตัวมีรูปร่างที่หลากหลาย จึง จะได้ศึกษาถึงรูปร่างของกั้นชนที่มีความเหมาะสมต่อการนำมาใช้ในการศึกษา นอกจากนี้จะได้วัด ขนาดต่างๆ ที่เกี่ยวข้องและความหนาของหัวสำหรับกั้นชน

ค. รถบนตัวบรรทุก เนื่องจากกั้นชนหน้าจะต้องติดตั้งเข้ากับรถบนตัวบรรทุก (รถปิกอัพ) จึงต้อง หาข้อมูลของมวลของรถบนตัวบรรทุกและมิติของรถบนตัวบรรทุกที่จะใช้ในการศึกษา

**3.1.2 การศึกษาการใช้งานของโปรแกรม** เมื่อจากในการศึกษานี้จะได้ทำการจำลองสภาพการชน กระแทกของกั้นชนหน้ารถบนตัวบรรทุกในการชนกระแทกแนวตรงด้วยการใช้โปรแกรมสำเร็จรูปจึง จำเป็นต้องศึกษาถึงการใช้งานของโปรแกรม การนำเข้าข้อมูล (Input) การส่งออกข้อมูล (Output) และ การใช้งานคำสั่งต่างๆ รวมทั้งจะได้ศึกษาถึงการต้องนำโปรแกรมอื่นๆ ที่จำเป็นต้องใช้ร่วมอีกด้วย

#### **3.2 การทดสอบดึงแผ่นเหล็กทดสอบ**

ในการศึกษาถึงการสีบูรพาและความเร่งของกั้นชนหน้าของรถบนตัวบรรทุกในการชนกระแทก แนวตรงนี้ได้สนใจกั้นชนที่ทำมาจากแผ่นเหล็ก (Steel) หรือแผ่นเหล็กไวนิล ซึ่งข้อมูลที่สำคัญคือ คุณสมบัติวัสดุในช่วงพลาสติก (Plasticity) ซึ่งจะเป็นต้องมาจากการทดสอบดึงแผ่นเหล็กโดยมี ขั้นตอนที่จะต้องดำเนินการคือ

**3.2.1 จัดเตรียมขั้นตัวอย่างทดสอบ แผ่นเหล็กที่จะใช้ในการทดสอบจะถูกขัดเตรียมในมิวิติ ตามมาตรฐานการทดสอบ**

**3.2.2 การทดสอบดึง แผ่นเหล็กจะถูกนำมาทดสอบดึงด้วยเครื่องทดสอบอุณหภูมิ (Universal Testing Machine) โดยตัวเปรียต่างๆ ที่ใช้ในการทดสอบจะเป็นไปตามมาตรฐานการทดสอบ และขั้นตอนการทดสอบจะเป็นไปตามข้อกำหนดการใช้งานเครื่องทดสอบ**

**3.2.3 การสรุปข้อมูลการทดสอบ ข้อมูลจากการทดสอบดึงแผ่นเหล็กจะถูกนำมาสรุปและจัดเตรียมให้อยู่ในรูปแบบที่เหมาะสมต่อการนำไปใช้ในขั้นตอนของการจำลองสภาพต่อไป**

### **3.3 การจำลองสภาพการชนกระแทก**

ในการศึกษาถึงการเสียบูปและความเร่งของกันชนหน้าของรถยนต์บรรทุกในการชนกระแทก แนวคิดนี้จะได้ศึกษาด้วยการจำลองสภาพด้วยระบบเบียนวิชีไฟในค์เอลิเม้นต์ (Finite Element Method) ซึ่งขั้นตอนการดำเนินงานที่สำคัญประกอบด้วย

**3.3.1 การเตรียมข้อมูลประมวลผล เป็นการสร้างแบบจำลองของกันชนหน้าและขั้นส่วนอื่นที่เกี่ยวข้องรวมถึงกำหนดเงื่อนไขของการจำลองสภาพการชนกระแทก โดยอาศัยข้อมูลต่างๆ ที่ได้จากขั้นตอน 3.1 ส่วนข้อมูลคุณสมบัติวัสดุของกันชนหน้าจะได้จากขั้นตอน 3.2**

**3.3.2 การประมวลผล เมื่อข้อมูลต่างๆ จากขั้นตอน 3.3.1 จะได้รับการประมวลผลโดยในขั้นตอนนี้จะได้มีการปรับเปลี่ยนตัวแปรที่สนใจเพื่อศึกษาถึงผลที่มีต่อแรงชนกระแทก ซึ่งประกอบด้วย**

**ก. เปลี่ยนค่าความเร็วชนกระแทกจำนวน 5 ค่า**

**ข. เปลี่ยนค่าความหนาของแบบจำลองกันชนจำนวน 3 ค่า**

ผลลัพธ์ที่ได้จากการจำลองสภาพการชนกระแทกคือการเสียบูปและความเร่ง จะถูกนำเสนอและวิเคราะห์ในขั้นตอนต่อไป

### **3.4 การนำเสนอผลการศึกษา**

ผลลัพธ์ที่ได้จากการจำลองสภาพที่จะได้เลือกมาทำการวิเคราะห์และสรุปผลคือการเสียบูปและความเร่งที่เกิดขึ้นต่อ กันชนหน้าของรถยนต์บรรทุก โดยจะได้นำเสนอในรูปกราฟความถี่พื้นที่ระหว่าง การเสียบูปและความเร่งที่เวลาต่างๆ และนำเสนอการเปรียบเทียบระหว่างตัวแปรต่างๆ ที่ทำการศึกษา

### **3.5 วิเคราะห์และสรุปผลการจำลองสภาพ**

การเสียบูปและความเร่งของกันชนหน้ารถยนต์บรรทุกที่เกิดขึ้นในแต่ละช่วงเวลาของเหตุการณ์ ชนกระแทกจะถูกนำมาวิเคราะห์ว่าเกิดขึ้นได้อย่างไร จากนั้นค่าของ การเสียบูปและความเร่งที่แตกต่าง

กันเนื่องจากตัวแปรของ การศึกษาที่แตกต่างกันจะถูกนำมาวิเคราะห์ถึงสาเหตุของความแตกต่างและได้  
จะทำการสรุปผลของการจำลองสภาพต่อไป



## บทที่ 4

### ผลการดำเนินงาน

การดำเนินงานของโครงการนปฐมยุานิพันธ์การศึกษาการเสียรูปและความเร่งของกันชนหน้ารถชนตัวรถทุกในการชนกระแทกแนวตรงซึ่งเป็นไปตามขั้นตอนของวิธีการดำเนินงาน ผลลัพธ์ที่ได้ของแต่ละขั้นตอนจะได้นำเสนอในผลการดำเนินงานเรียงตามขั้นตอนเป็นดังนี้

#### 4.1 การศึกษาข้อมูลที่เกี่ยวข้อง

ผลการดำเนินงานในขั้นตอนการศึกษาข้อมูลที่เกี่ยวข้องนี้มี 2 ส่วน คือ ผลการศึกษาข้อมูลที่ว่าไปที่เกี่ยวข้องและผลการศึกษาการใช้งานของโปรแกรม ซึ่งมีผลการดำเนินงานดังนี้

**4.1.1 การศึกษาข้อมูลที่ว่าไปที่เกี่ยวข้อง** จากการศึกษาข้อมูลที่ว่าไปที่เกี่ยวข้องกับการศึกษาการชนกระแทกพบว่ามีข้อมูลที่สำคัญคือ

ก. ความเร็วชนกระแทก จากการศึกษาการทดสอบชนกระแทกของรถชนตัวของหน่วยงานต่างๆ เช่น National Highway Traffic Safety Administration (NHTSA) ของสหรัฐอเมริกาและ European New Car Assessment Programme (Euro NCAP) ของสหภาพยุโรป พบร่วม Euro NCAP ได้กำหนดให้ใช้ความเร็วการชนกระแทกด้านหน้าที่ 64 km/h ในการทดสอบชนกระแทกยานพาหนะต่างๆ ในการศึกษานี้จึงจะใช้ความเร็ว 64 km/h เป็นความเร็วมาตรฐาน



รูปที่ 4.1 ลักษณะกันชนหน้ารถชนตัวรถทุก

ข. ลักษณะและรูปร่างของกันชนหน้า จากการศึกษาการติดตั้งกันชนหน้าของรถชนตัวรถทุกพบร่วมกันชนมีองค์ประกอบหลักเป็นท่อเหล็กยาวที่มีการตัดส่วนໄสั่งหรืออาจมีการติดตั้งส่วนประกอนอื่นเสริมเข้ามาเพื่อความสวยงาม ดังแสดงในรูปที่ 4.1 จากกันชนหัวอย่างที่ได้ออกมาทำการศึกษามีอวัสดนิติของท่อเหล็กได้ขนาดเป็นดังตารางที่ 4.1

ตารางที่ 4.1 มิติของกันชนหน้ารถตัวอย่าง

มิติ	ขนาด
ความกว้าง	1.4 เมตร
เส้นผ่านศูนย์กลาง	70 มิลลิเมตร
ความหนา	3 มิลลิเมตร
ระยะห่างจุดรองรับ	560 มิลลิเมตร

ก. รายงานตัวบรรทุก จากการศึกษาพบว่าในประเทศไทยมีรถชนตัวบรรทุก 2 ยี่ห้อที่ได้รับความนิยมในการใช้งาน ซึ่งข้อมูลที่เกี่ยวข้องต่อการศึกษาเป็นดังตารางที่ 4.2

ตารางที่ 4.2 ข้อมูลรถชนตัวบรรทุก

ข้อมูล	ยี่ห้อ 1	ยี่ห้อ 2
ความกว้าง (mm)	1,760	1,720
ความยาว (mm)	5,130	5,045
ความสูง (mm)	1,680	1,640
น้ำหนัก (kg)	1,550	1,545

จากข้อมูลข้างต้นจะได้กำหนดค่าລบของรถชนตัวบรรทุกในการสร้างแบบจำลองเป็น 1,550 กิโลกรัม

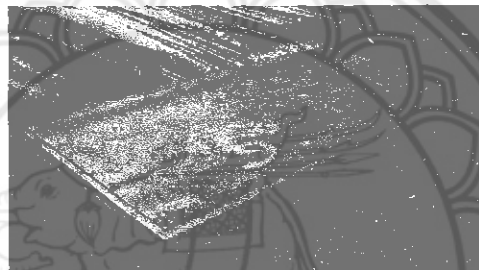
4.1.2 การศึกษาการใช้งานของโปรแกรม ในการจำลองสภาพการชนกระแทกของกันชนหน้ารถชนตัวบรรทุกในการชนกระแทกแนวตรงนี้ได้ใช้โปรแกรมสำเร็จรูปคือ โปรแกรม LS-DYNA สำหรับขั้นตอนการประมวลผล โดยที่ไฟล์นำเข้าจะถูกเปลี่ยนในรูปของข้อความ (Text file) ที่มีนามสกุลเป็น \*.dyn โดยมีการทำการประมวลผลแล้วจะได้ผลลัพธ์เป็น 2 ส่วน คือ สำนวนของการแสดงผลจะเป็นไฟล์ที่มีชื่อเป็น d3plot และไฟล์ข้อมูลแรงชนกระแทกซึ่งมีชื่อเป็น rcfrcf สำหรับโปรแกรมสำเร็จรูปต่างๆ ที่จะได้นำมาใช้ในการศึกษานี้ประกอบด้วย

- |                      |                                  |
|----------------------|----------------------------------|
| ก. โปรแกรม LS-DYNA   | สำหรับการประมวลผลและการแสดงผล    |
| ข. โปรแกรม AutoCAD   | สำหรับการสร้างรูปร่างพื้นฐาน     |
| ค. โปรแกรม FEMAP     | สำหรับการสร้างแบบจำลอง           |
| ง. โปรแกรม UltraEdit | สำหรับการสร้างและแก้ไขไฟล์นำเข้า |
| จ. โปรแกรม MS-Excel  | สำหรับการสร้างกราฟผลลัพธ์        |

## 4.2 การทำสอบดึงแผ่นเหล็กทดสอบ

ในการศึกษาถึงการเสียบูปและความร่างของกันชนหน้าของรถยนต์บรรทุกในการชนกระแทกหน้าตรงนี้ได้สันใจกันชนที่ทำมาจากแผ่นเหล็ก (SS400) หรือแผ่นเหล็กไร้สนิม ซึ่งข้อมูลที่สำคัญคือ คุณสมบัติวัสดุในช่วงพลาสติก (Plasticity) ซึ่งจำเป็นต้องสามารถทดสอบดึงแผ่นเหล็กโดยการทดสอบดึงแผ่นเหล็กนี้จะได้ข้างอิงมาตรฐานการทดสอบ ASTM E8 ซึ่งมีผลการดำเนินงานในแต่ละขั้นตอนดังนี้

**4.2.1 การจัดเตรียมชิ้นตัวอย่างทดสอบ แผ่นเหล็กที่จะใช้ในการทดสอบมีความหนา 1.2 mm โดยมีตัวอย่างของแผ่นเหล็กดังรูปที่ 4.2 และได้เตรียมตัวอย่างทดสอบที่มีขนาดคือ ความยาว 220 mm ความกว้างช่วงทดสอบ 60 mm ความกว้างช่วงทดสอบ 12.3 mm ความยาวบริเวณหัวจับ 60 mm และความกว้างบริเวณหัวจับ 20 mm ตัวอย่างทดสอบดึงของแผ่นเหล็กดังแสดงในรูปที่ 4.3**

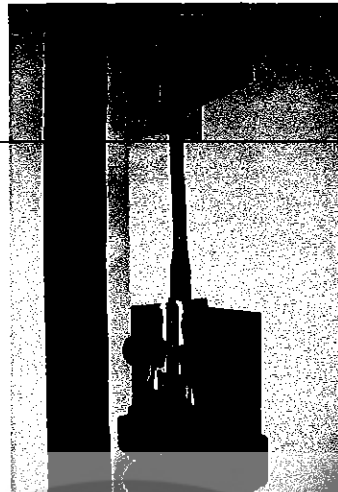


รูปที่ 4.2 ตัวอย่างแผ่นเหล็ก



รูปที่ 4.3 รูปร่างการจัดเตรียมตัวอย่างทดสอบดึงแผ่นเหล็ก

**4.2.2 การทดสอบดึง ตัวอย่างทดสอบดึงแผ่นเหล็กได้ถูกนำ去做ทดสอบดึงด้วยเครื่องทดสอบเอ็นกประสงค์ท่อ HOUNSFIELD รุ่น HSOKS ซึ่งสามารถให้แรงดึงขนาด 50 kN โดยขั้นตอนการทดสอบได้ดำเนินการตามขั้นตอนทั่วๆ ของเครื่องทดสอบ โดยการติดตั้งตัวอย่างทดสอบดึงเข้ากับเครื่องทดสอบเป็นคังแสดงในรูปที่ 4.4 และภาพตัวอย่างทดสอบที่ผ่านการทดสอบดึงจะน้ำดูจากกันเป็นคังแสดงในรูปที่ 4.5 สำหรับการทดสอบช้านั้นจะได้ทำการทดสอบดึงตัวอย่างทดสอบช้านั้นได้ข้อมูลของการดึงที่ไกล์คีบิ่งกันจำนวน 5 ชุดข้อมูล**



รูปที่ 4.4 การติดตั้งตัวอย่างทดสอบดึงเข้ากับเครื่องทดสอบ



รูปที่ 4.5 ตัวอย่างทดสอบที่ผ่านการทดสอบดึงจนขาดออกจากกัน

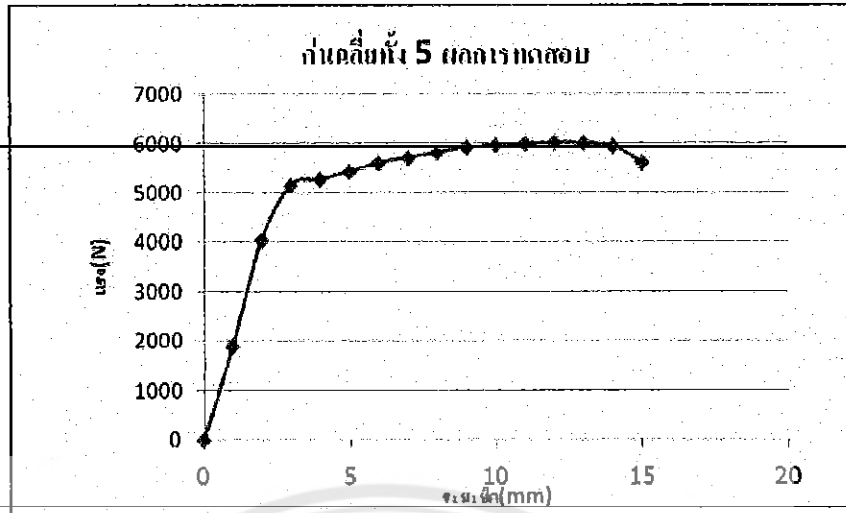
ข้อมูลจากการทดสอบดึงจะถูกพิมพ์ออกทางเครื่องพิมพ์เมื่อนำไปสร้างคู่สำบัขของแรงดึงและระบบปีดแล้วจะได้ข้อมูลของการทดสอบดึงทั้ง 5 ผลการทดสอบเป็นดังรูปที่ 4.6

15696124

1/S.

86477

2554



รูปที่ 4.6 ค่าดัชนของแรงดึงและระเบียบเกลี้ยงของการทดสอบดึงตัวอย่างแผ่นเหล็ก

4.2.3 การสรุปข้อมูลการทดสอบ ข้อมูลแรงดึงและระเบียบเกลี้ยงจะนำมาระบุในค่าของความเดินและความเครียดเพื่อนำไปหาค่ามอคูลัสความยืดหยุ่น (Young's Modulus) ค่าความกึ่นกราก (Yield Stress) และค่าดัชนความเครียดความเดินในช่วงพลาสติกซึ่งค่าที่หาได้มีเป็นตารางที่ 4.3

ตารางที่ 4.3 ข้อมูลคุณสมบัติวัสดุของแผ่นเหล็ก

คุณสมบัติ	ค่าที่หาได้
1. มอคูลัสความยืดหยุ่น	200 GPa
2. ความกึ่นกราก	240 MPa
3. ค่าดัชนความเครียดความเดินในช่วงพลาสติกซึ่ง หมายเหตุ: หน่วยเป็น (mm/mm, MPa)	(0.001, 240) (0.002, 385) (0.004, 450) (0.006, 485) (0.008, 550) (0.010, 585) (0.012, 595) (0.015, 590)

ข้อมูลในตารางที่ 4.3 จะถูกนำไปกำหนดให้กับแบบจำลองของกันชนหน้าในขั้นตอนของการจำลองสภาพการชนกระแทกต่อไป

#### 4.3 การจำลองสภาพการชนกระแทก

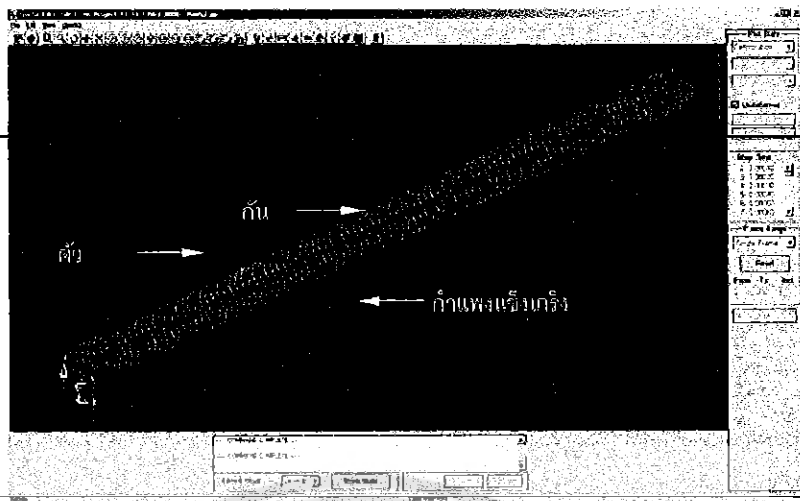
ในการศึกษาถึงการเดินรูปและความเร่งของกันชนหน้าของรถชนตัวบรรทุกในการชนกระแทกแนวตรงนี้จะได้ศึกษาด้วยการจำลองสภาพด้วยระบบเนียนวิชไฟฟ์ในเอลิเมนต์ (Finite Element Method) ซึ่งมีผลของการคำนวณงานในแต่ละขั้นตอนเป็นดังนี้

**4.3.1 การเตรียมข้อมูลประมวลผล** ในขั้นตอนนี้เป็นการเตรียมข้อมูลสำหรับส่งให้ไปรrogram LS-DYNA ทำการประมวลผลการจำลองสภาพโดยข้อมูลต่างๆ จะถูกเขียนในรูปข้อความที่มี Syntax และ Format ตามข้อกำหนดของโปรแกรม ซึ่งในขั้นตอนนี้มีการคำนวณการที่สำคัญ 2 ส่วน คือ การสร้างแบบจำลองและการกำหนดเงื่อนไขของการจำลองสภาพ

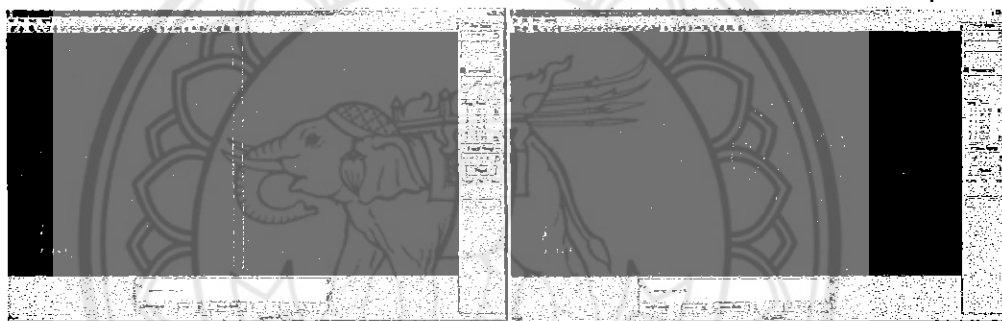
**4.3.1.1 การสร้างแบบจำลอง** ในการจำลองสภาพการชนกระแทกของกันชนหน้าในแนวตรงนี้มีแบบจำลอง 3 ชิ้นส่วนที่ได้สร้างขึ้นมา ประกอบด้วย ตัวรองรับ กันชนหน้า และ กำแพงแข็งเกร็ง (Rigid wall) โดยในการสร้างแบบจำลองทั้ง 3 ชิ้นส่วน ได้ใช้ไปรrogram AutoCAD ในการกำหนดจุดต่างๆ และโปรแกรม FEMAP ถูกใช้ในการสร้างจุดต่อ (Node) และสร้างเอลิเมนต์ (Element) รวมถึงถูกใช้ในการส่งออกเป็นข้อมูลในรูปข้อความ รายละเอียดของแบบจำลองทั้ง 3 ชิ้นส่วนเป็นดังตารางที่ 4.4 สำหรับภาพรวมของแบบจำลองเป็นดังแสดงในรูปที่ 4.7 ส่วนการขัดวงตัวแทนของแบบจำลองทั้ง 3 เป็นดังแสดงในรูป 4.8

ตารางที่ 4.4 รายละเอียดของแบบจำลอง

รายละเอียด	แบบจำลอง		
	กันชนหน้า	ตัวรองรับ	กำแพงแข็งเกร็ง
ชนิดเอลิเมนต์	Shell element	Solid element	Rigid wall
คุณสมบัติวัสดุ	Plasticity	Rigid	Rigid
จำนวนจุดต่อ	2,090	387	-
จำนวนเอลิเมนต์	2,088	204	-



รูปที่ 4.7 ภาพรวมของแบบจำลอง



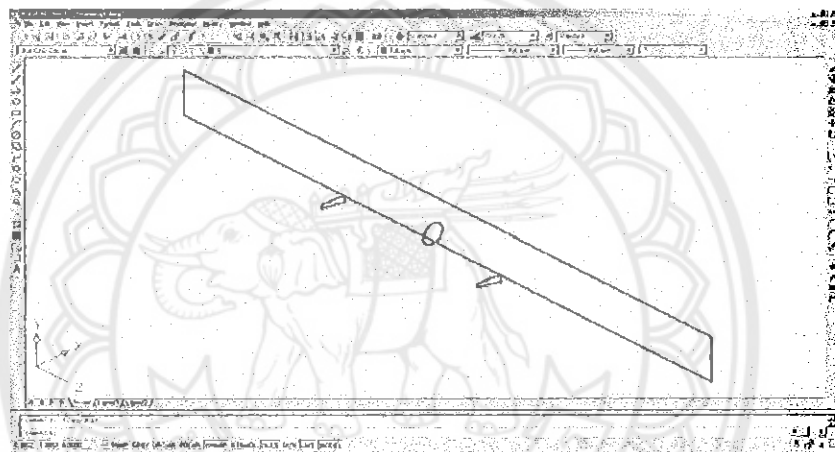
รูปที่ 4.8 การขัด洼ทำแม่เหล็กของแบบจำลองทั้ง 3

ในการกำหนดคุณสมบัติต่างๆ ให้กับแบบจำลองทั้ง 3 นี้ ได้พิจารณาให้ไกล์เดย์เก็บเงื่อนของ การศึกษาโดยที่ได้กำหนดให้กันชนมีคุณสมบัติเป็นพลาสติกซิตี้เนื่องจากการชนกระแทกที่เกิดขึ้นนั้นจะ ทำให้กันชนเกิดการเสียรูปถาวรซึ่งความเก็บและความเครียดที่เกิดขึ้นนั้นจะอยู่ในช่วงของพลาสติกซิตี้ แบบจำลองกันชนย่อนไม่ดีนูรูปซึ่งสอดคล้องกับสถานการณ์จริง สำหรับตัวรองรับและกำแพงนั้น ได้ กำหนดให้มีคุณสมบัติเป็นแบบแข็งกรึงคือไม่มีการเสียรูปเนื่องจากในการศึกษานี้สันในเฉพาะกันชน เท่านั้นหากแบบจำลองอื่นมีการเสียรูปจะทำให้ข้อมูลของกันชนเกิดความคลาดเคลื่อนได้

นอกจากนี้เพื่อให้การจำลองสภาพการชนกระแทกไกล์เดย์เก็บกับการชนกระแทกของกันชนหน้า รถยกตัวรถทุกที่เกิดขึ้นจริงจึงได้กำหนดให้มวลของรถยกตัวรถทุกคือ 1,550 กิโลกรัม ระยะไปอยู่ที่ ตัวรองรับทั้งสองตัว ตัวละ 750 กิโลกรัม สำหรับมวลของกันชนจะถูกคำนวณโดยโปรแกรมจากค่า ความหนาแน่นและปริมาตรของกันชนเอง

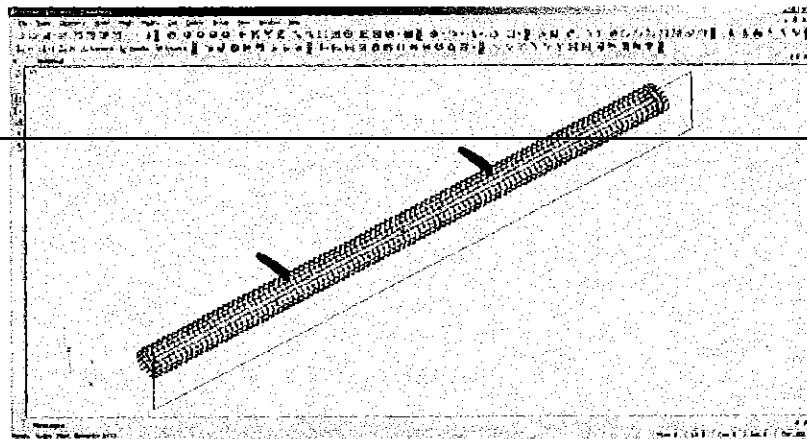
**4.3.1.2 การสร้างไฟล์นำเข้า (Input File)** ในการประมวลผลการจำลองสภาพการชนกระแทกด้วยโปรแกรม LS-DYNA ข้อมูลต่างๆ ของแบบจำลองข้างต้นจะทำการกำหนดเงื่อนไขการจำลองสภาพต่างๆ จะถูกจัดเตรียมเป็นห้องรูปไฟล์ข้อมูลที่มีนามสกุลเป็น dyn (\* dyn) โดยได้ใช้โปรแกรม Ultraedit สำหรับการเขียนและแก้ไขข้อมูลภายในไฟล์นำเข้านี้ มี 3 ส่วนประกอบที่สำคัญคือ ข้อมูลของแบบจำลอง การกำหนดเงื่อนไข และการกำหนดผลลัพธ์

ก. ข้อมูลของแบบจำลอง ในการสร้างแบบจำลองของกันชน ตัวรองรับ และกำแพงเพียง เก้าร่องดังแสดงในรูปที่ 4.7 นั้น ได้ใช้โปรแกรม AutoCAD ในการสร้างชุดและเส้นที่เรียบต่อจุดต่างๆ ที่ จำเป็นต่อการสร้างพื้นผิว (Surface) รวมทั้งเส้นรอบวงของกันชน ซึ่งได้เส้นต่างๆ ดังรูปที่ 4.8



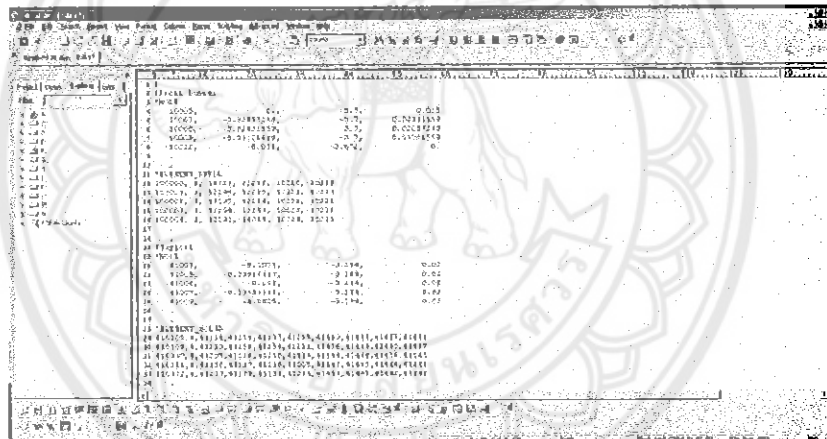
รูปที่ 4.9 การสร้างเส้นใน AutoCAD

จากนั้นข้อมูลของเส้นจะถูกนำไปยังโปรแกรม FEMAP โดยที่เส้นทางคอมรอนรูปของกันชน จะถูกยึดออก (Extrude) เป็นพื้นผิวเส้นรอบรูปของตัวรองรับจะถูกสร้างเป็นพื้นที่จากนั้นจะถูกขีดออก ให้เป็นปริมาตร สำหรับเส้นรอบรูปของกำแพงเพียงเก้าร่องจะถูกสร้างเป็นพื้นผิว จากนั้นแบบจำลองของ กันชนและตัวรองรับจะถูกแบ่ง成ลิเมนต์ ซึ่งได้แบบจำลองดังแสดงในรูปที่ 4.10



รูปที่ 4.10 แนวจำลองที่ถูกแก้ไขใหม่

จากรูปที่ 4.10 ข้อมูลพิกัด  $x$ ,  $y$  และ  $z$  ของจุดที่ต่อต่ำๆ หมายเลขอุบัติที่  $j$  จุดที่  $i$  ของเอกภัณฑ์ และหมายเลขอุบัณฑ์จะถูกส่งออกในรูปแบบของข้อความดังแสดงในรูปที่ 4.11



รูปที่ 4.11 ตัวอย่างข้อมูลแบบจำลองสำหรับสร้างไฟล์นำเสนอ

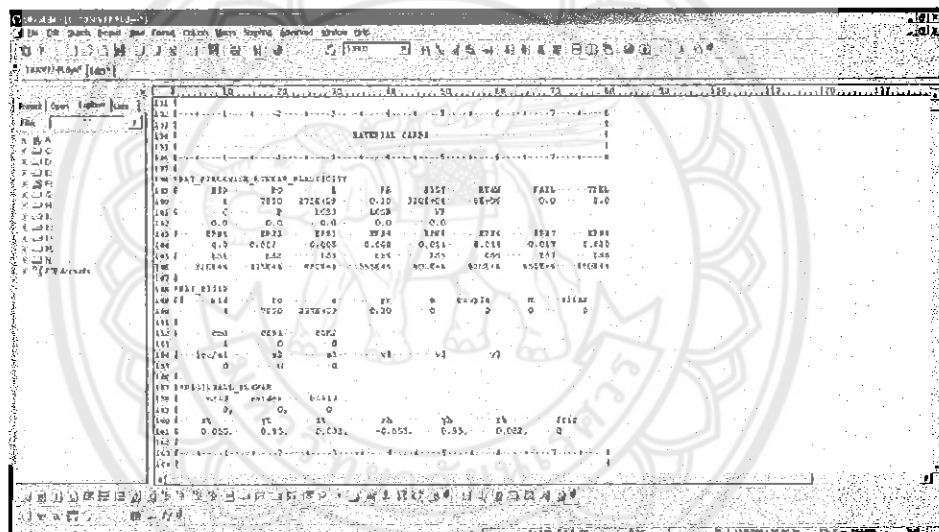
เมื่อนำข้อมูลของแบบจำลองข้างต้นนั้นมาสร้างเป็นไฟล์นำเข้าแล้วจึงได้กำหนดข้อมูลคุณสมบัติที่ของแต่ละแบบจำลองซึ่งประกอบด้วย

- แบบจำลองกำแพงแข็งเกร็ง กำหนดให้มีคุณสมบัติเป็นแบบแข็งเกร็ง (Rigid) โดยใช้คำสั่ง \*RIGIDWALL\_PLANAR
  - แบบจำลองตัวรองรับ กำหนดให้มีคุณสมบัติเป็นแบบแข็งเกร็ง โดยใช้คำสั่ง \*MAT\_RIGID
  - แบบจำลองกันชน กำหนดให้มีคุณสมบัติเป็นแบบพลาสติกซึ่งโดยใช้คำสั่ง \*MAT\_PIECEWISE\_LINEAR\_PLASTICITY และกำหนดให้วัสดุเป็นเหล็ก โดยมีคุณสมบัติที่เกี่ยวข้องตามตาราง 4.5

ตาราง 4.5 คุณสมบัติวัสดุที่เกี่ยวข้องของแบบจำลองกันชน

คุณสมบัติ	ค่าที่กำหนด
1. นิวตันส่วนเม็ดหน่วย	275 GPa
2. ความเด่นคราก	320 MPa
3. ความหนาแน่น	7,850 kg/m <sup>3</sup>
4. อัตราส่วนปัวซอง	0.30
5. ค่าด้านความเครียดความเค้นในช่วงพลาสติกชีท หมายเหตุ: หน่วยเป็น (mm/mm, MPa)	(0.001, 240), (0.002, 375), (0.004, 450) (0.006, 485), (0.008, 550), (0.010, 585) (0.012, 595) และ (0.015, 590)

หมายเหตุ โปรแกรมต้องการข้อมูลค่าด้านความเครียดความเค้นจำนวน 8 คู่



**ข. การกำหนดเงื่อนไข เป็นการกำหนดให้การจำลองสภาพเป็นไปตามสมมุติฐานค่าๆ ที่ได้กำหนดไว้เพื่อให้ใกล้เคียงสภาพความเป็นจริงของการชนกระแทกมากที่สุด ซึ่งการกำหนดเงื่อนไขที่สำคัญประกอบด้วย**

1. การกำหนดความเร็วชนกระแทก เป็นการกำหนดให้แบบจำลองกันชนพร้อมตัวรองรับพุ่งเข้าชนกระแทกที่แบบจำลองกำหนดแข็งเกร็งด้วยความเร็วที่ต้องการที่กำหนดค่าสั่ง \*INITIAL\_VELOCITY ซึ่งในการประมวลผลแต่ละครั้งได้เปลี่ยนความเร็วชนกระแทกจำนวน 5 ค่า คือ 51.2, 57.6, 64.0, 70.4 และ 76.8 กิโลเมตรต่อชั่วโมง โดยค่าที่ได้กำหนดให้ไปรักรณีคือ 14.2, 16.0, 17.8, 19.6 และ 21.3 เมตร ต่อวินาที ตามลำดับ หัวนี้การกำหนดความเร็วชนกระแทกนี้ได้กำหนดในทิศทางตั้งฉากกับแบบจำลอง กำหนดแข็งเกร็งเท่านั้นเนื่องจากเป็นการชนกระแทกในแนวตรง

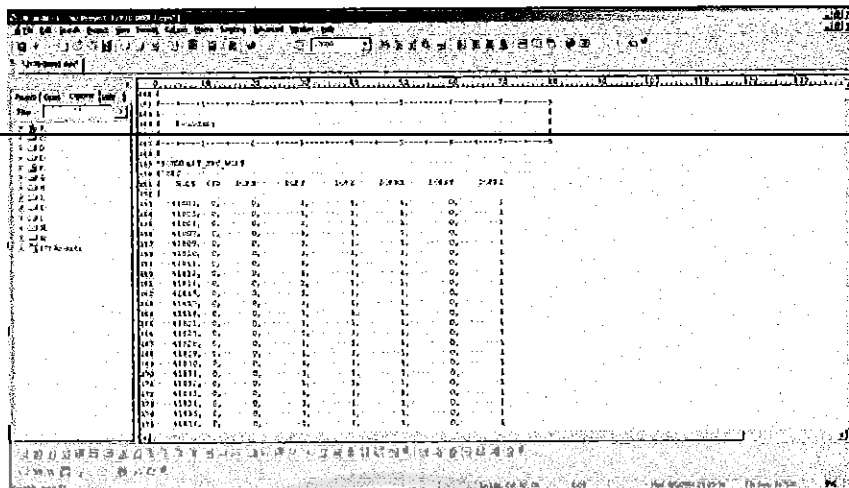
2. การกำหนดการบังคับการเคลื่อนที่ เป็นการบังคับให้แต่ละจุดต่อของแบบจำลองมีการเคลื่อนที่ไปในรูปแบบที่ต้องการซึ่งต้องบังคับการเปลี่ยนตำแหน่ง (Translation) ใน 3 แกน และบังคับการหมุน (Rotation) ใน 3 แกน โดยใช้คำสั่ง \*BOUNDARY\_SPC\_NODE ซึ่งในการจำลองสภาพการชนกระแทกในแนวตรงนี้ได้บังคับการเคลื่อนที่ของแต่ละแบบจำลองดังนี้

2.1 แบบจำลองกำหนดแข็งเกร็ง บังคับการเคลื่อนที่เป็นแบบตรง (ไม่ยอมให้มีการเคลื่อนที่ในทุกแกน โดยอ้างอิงแกนจากrup ที่ 4.7)

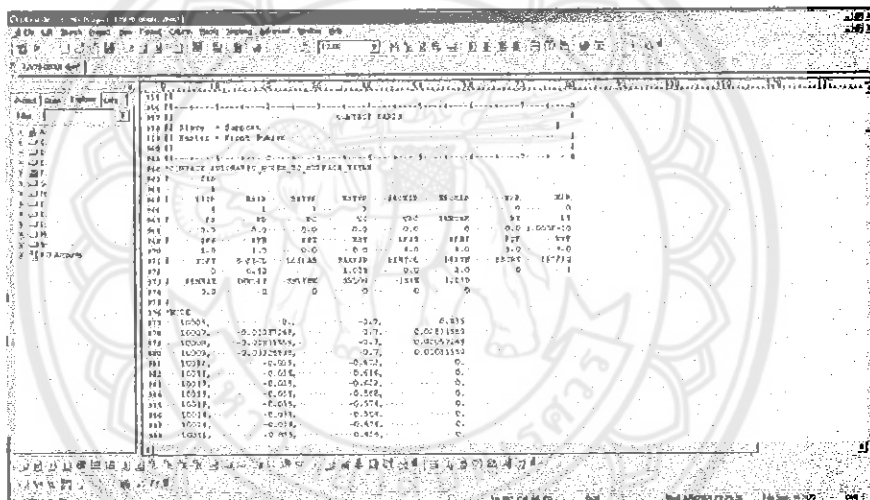
2.2 แบบจำลองตัวรองรับ ยอมให้เกิดการเคลื่อนที่ตามแกน x และยอมให้เกิดการหมุนรอบแกน y เท่านั้น

2.3 แบบจำลองกันชน ขอมิให้เกิดการเคลื่อนที่ได้ในทุกๆ แกน โดยการกำหนดการบังคับการเคลื่อนที่ในไฟล์น้ำเข้าเป็นดังแสดงในรูปที่ 4.13

3. การกำหนดคู่สัมผัส เป็นการกำหนดให้โปรแกรมทราบว่าในการชนกระแทกที่เกิดขึ้นนี้มีการสัมผัสกันของแบบจำลองใดบังคับคำสั่ง \*CONTACT\_AUTOMATIC\_NODES\_TO\_SURFACE\_TITLE ซึ่งได้กำหนดคู่สัมผัสระหว่างกันชนและตัวแรงรับโดยให้แบบจำลองกันชนเป็น Master ส่วนแบบจำลองตัวรองรับเป็น Slave สำหรับการสัมผัสของแบบจำลองทั้งสองกับกำหนดแข็งเกร็งนั้นไม่ต้องกำหนดเพราะคำสั่ง \*RIGIDWALL\_PLANAR จะกำหนดการสัมผัสโดยอัตโนมัติ การกำหนดคู่สัมผัสในไฟล์น้ำเข้าเป็นดังแสดงในรูปที่ 4.14

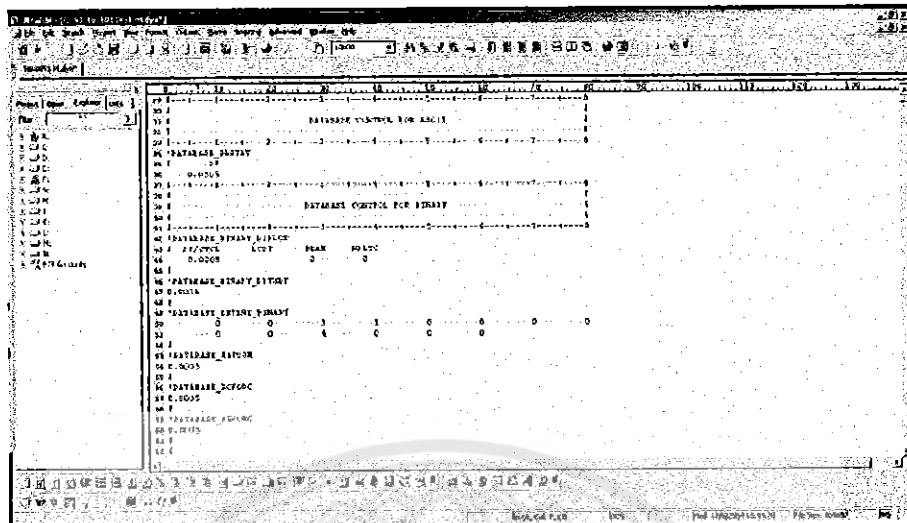


รูปที่ 4.13 การกำหนดการบังคับการเคลื่อนที่ในไฟล์น้ำเข้า



รูปที่ 4.14 การกำหนดค่าสัมผัสในไฟล์นำเข้า

ค. การกำหนดผลลัพธ์ เป็นการกำหนดให้การประมวลผลของการจำลองสภาพสร้างข้อมูลส่งออก (Output) หรือผลลัพธ์ของการจำลองสภาพให้เป็นไปตามความต้องการ สำหรับโปรแกรม LS-DYNA นี้ต้องกำหนดข้อมูลผลลัพธ์ 2 ส่วน คือ ข้อมูลผลลัพธ์ที่ต้องการ และช่วงเวลาการส่งออกข้อมูลนั้นๆ โดยในการศึกษาแรงชนกระแทกของกันชนหน้ารถยกในการชนกระแทกแนวตรง ได้กำหนดให้ส่งออกผลลัพธ์เป็นเรցที่เกิดขึ้นที่กำแพงแข็งเกร็งด้วยคำสั่ง \*DATABASE\_RWFORC และกำหนดให้สร้างข้อมูลทุกๆ 0.5 มิลลิวินาที จากคำสั่งนี้โปรแกรม LS-DYNA จะสร้างไฟล์ชื่อ rwforc ซึ่งภายในบรรจุถูด้านของแรงที่กำแพงแข็งเกร็งที่เวลาต่างๆ การกำหนดผลลัพธ์ในไฟล์น้ำเข้าเป็นดังแสดงในรูปที่ 4.15



รูปที่ 4.15 การกำหนดผลลัพธ์ในไฟล์นำเข้า

ส่วนสำคัญในขั้นตอนของการเตรียมข้อมูลประมวลผลอีกประการหนึ่งคือการกำหนดเวลาของ การประมวลผลซึ่งมีผลต่อเวลาที่ใช้ในการประมวลผลเป็นอย่างมาก จากการทดลองของสภาพการ ชนกระแทกพบว่าแบบจำลองกันชนจะพุ่งเข้าชนก่อนที่เวลาประมาณ 1.2 มิลลิวินาที ต่อจากนั้น แบบจำลองตัวรองรับจะดักแนบด้านบนและเข้ากระแทกต่อค่าแพลงเพียงครึ่งที่เวลาประมาณ 5.5 มิลลิวินาที จากนั้นแบบจำลองทั้งหมดจะเริ่มถอยกลับออกมานิดหนึ่ง ดังนั้นจึงได้กำหนดเวลาสิ้นสุดการ ประมวลผลที่ 20 มิลลิวินาที

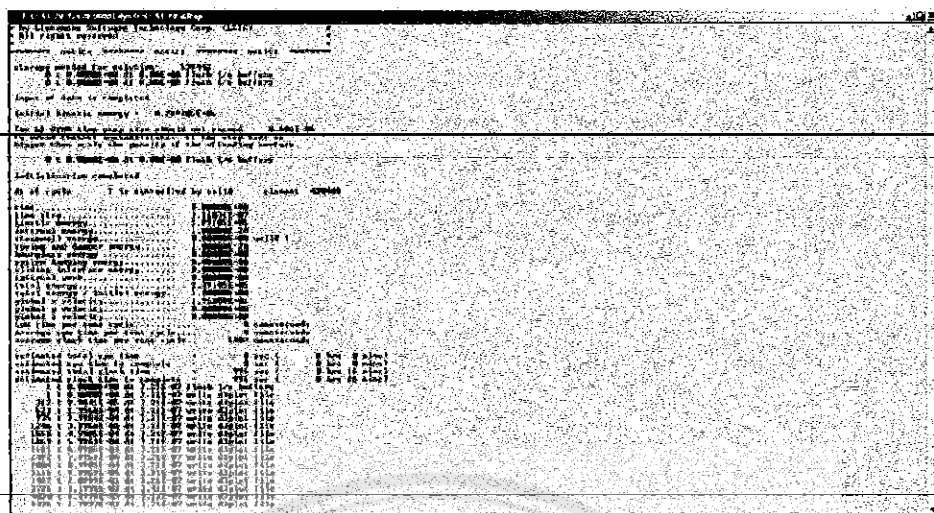
ในขั้นตอนการเตรียมข้อมูลการประมวลผลนี้สุดท้ายจะได้ผลลัพธ์เป็นไฟล์ที่มีขนาดประมาณ 300 kb จำนวนทั้งสิ้น 15 ไฟล์ ที่มีการเปลี่ยนตัวแปรการจำลองสภาพที่ความเร็วชนกระแทกจำนวน 5 ค่า และความหนาของกันชนจำนวน 3 ค่า สำหรับกรณีนำไปใช้ประมวลผลในขั้นตอนต่อไป

**4.3.2 การประมวลผล เมื่อทำการจัดเตรียมข้อมูลต่างๆ ในไฟล์นำเข้าตามขั้นตอน 4.3.1 เป็น ที่เรียบร้อยแล้ว ไฟล์นำเข้านี้จะถูกนำมาทำการประมวลผลด้วยโปรแกรม LS-DYNA โดยจะได้ทำการ ประมวลด้วยการเปลี่ยนตัวแปรการจำลองภาพ คือ**

ก. ค่าความเร็วชนกระแทกจำนวน 5 ค่า คือ 14.2, 16.0, 17.8, 19.6 และ 21.3 m/s (เรือง มาตรฐานการทดสอบที่ความเร็วชนกระแทก 64 km/h (17.8 m/s) และเปลี่ยนแปลง 10%)

ข. ค่าความหนาของกันชน คือ 1, 2 และ 3 มิลลิเมตร

เมื่อการประมวลผลเริ่มต้นจะได้ภาพแสดงการทำงานของโปรแกรมดังรูปที่ 4.16 โดยการ ประมวลผลในแต่ละครั้งจะใช้เวลาประมาณ 50 นาที



รูปที่ 4.16 การทำงานของโปรแกรมขณะประมวลผล

ผลลัพธ์ที่ได้จากการจำลองสภาพการณ์จะแสดงค่าเสียงรูปของความเร่ง จะถูกนำเสนอและวิเคราะห์ในขั้นตอนต่อไป

#### 4.4 การนำเสนอผลการศึกษา

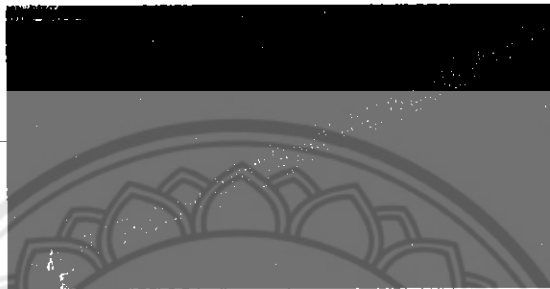
ผลลัพธ์จากการจำลองสภาพที่นำมาเสนอประกอบด้วยการเสียงรูปและการเบี่ยงเปลี่ยนความเร่งที่เกิดขึ้นต่อ กันชนหน้ารถชนตัวรถทุก ได้จะนำไปใช้ในการประเมินความเร่งในรูปภาพความสัมพันธ์ระหว่างความเร่งที่เวลาต่างๆ และนำเสนอการเปรียบเทียบระหว่างตัวแปรต่างๆ ที่ทำการศึกษา

##### 4.4.1 การเสียงรูปของกันชนหน้ารถชนตัวรถ

ในส่วนของการศึกษาการเสียงรูปของกันชนนี้ได้จำลองสภาพของกันชนที่มีความหนาเป็น 3 มิลลิเมตร หุ่งเข้าชนกำแพงแข็งเกริงด้วยความเร็ว 64 กิโลเมตรต่อชั่วโมง โดยได้กำหนดเวลาของการจำลองสภาพไว้ที่ 50 มิลลิวินาที เพื่อให้เพียงพอต่อการสังเกตพฤติกรรมของกันชน เมื่อเกิดการเสียงรูป โดยภาพของการเสียงรูปที่เวลาต่างๆ เป็นดังแสดงในรูปที่ 4.17 และ 4.18



(ก) เวลา 0.000 วินาที



(ข) เวลา 0.004 วินาที

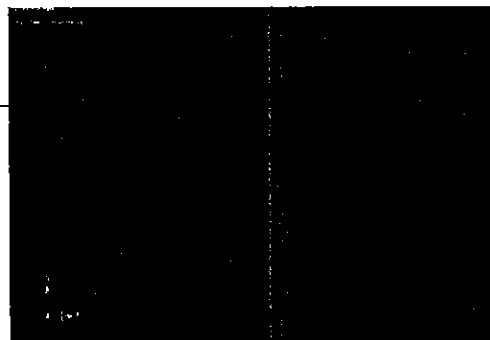


(ค) เวลา 0.044 วินาที

รูปที่ 4.17 ภาพเหตุการณ์ในระหว่างการชนกระแทก



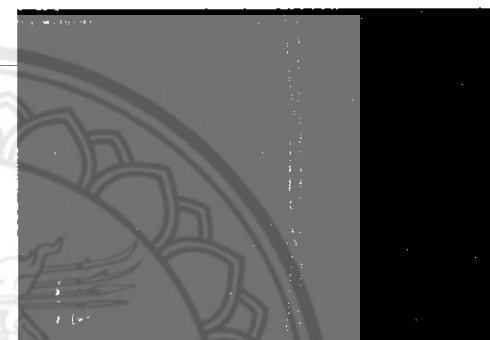
(ก) ภาพค้านข้างที่เวลา 0.000 วินาที



(ข) ภาพค้านบนที่เวลา 0.000 วินาที



(ก) ภาพค้านข้างที่เวลา 0.002 วินาที



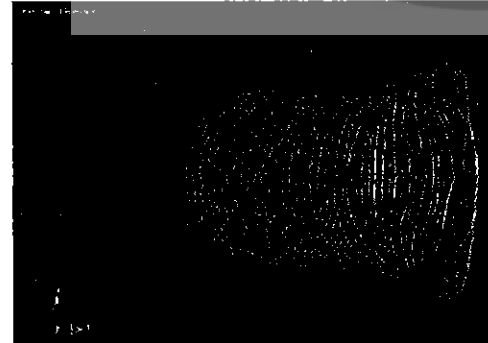
(ข) ภาพค้านบนที่เวลา 0.002 วินาที



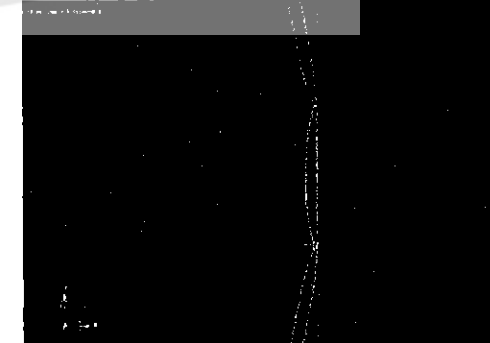
(ก) ภาพค้านข้างที่เวลา 0.004 วินาที



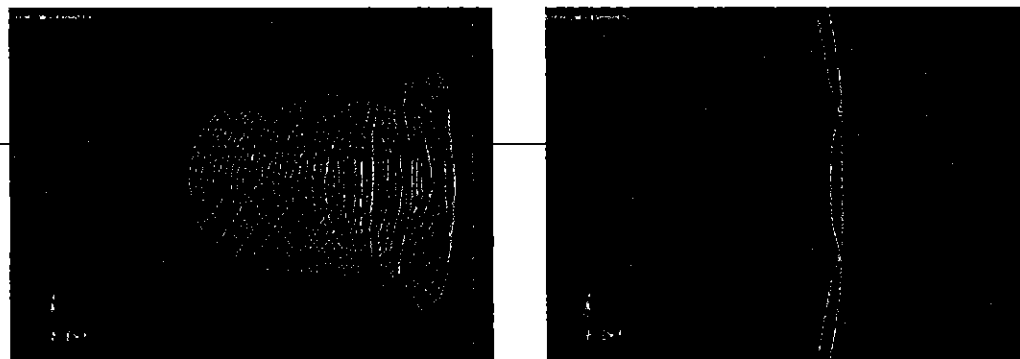
(ข) ภาพค้านบนที่เวลา 0.004 วินาที



(ก) ภาพค้านข้างที่เวลา 0.012 วินาที



(ข) ภาพค้านบนที่เวลา 0.012 วินาที

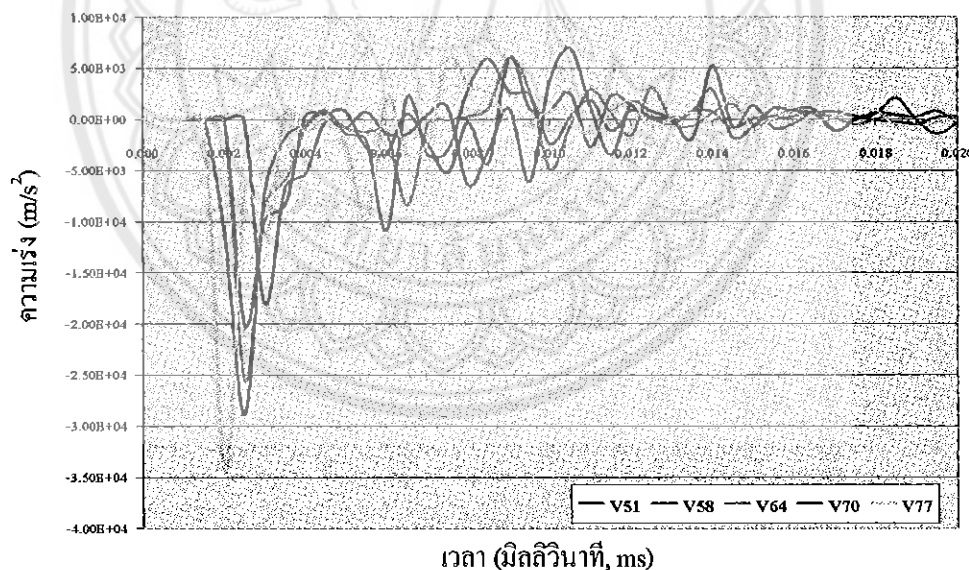


(a) ภาพด้านข้างที่เวลา 0.046 วินาที (b) ภาพด้านบนที่เวลา 0.046 วินาที

รูปที่ 4.18 ภาพด้านข้างและด้านบนในระหว่างการชนกระแทก

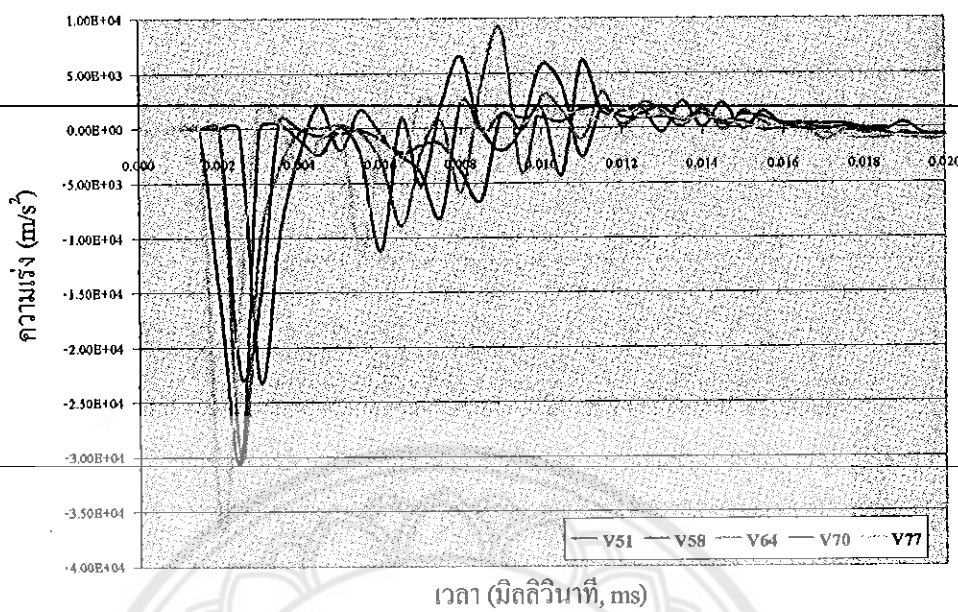
#### 4.4.2 การเปลี่ยนแปลงความเร่งของกันชนหน้ารอดยนต์บรรทุก

ผลลัพธ์จากการจำลองสภาพอิสระส่วนหนึ่งที่จะได้ศึกษาคือการเปลี่ยนแปลงความเร่งของกันชนหน้ารถบนตู้บรรทุกที่เวลาต่างๆ ในระหว่างเกิดการชนกระแทก โดยรูปที่ 4.19 ถึง 4.21 แสดงการเปลี่ยนแปลงความเร่งเบริร์ยนเทียบกันระหว่างความเร็วชนกระแทกจำนวน 5 ค่า ที่แต่ละความหนาของกันชน

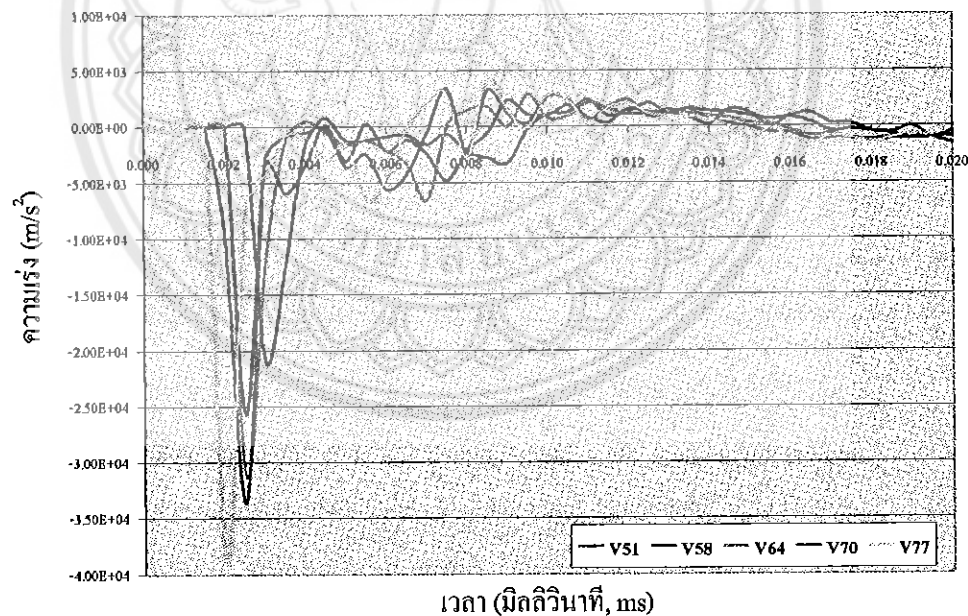


รูปที่ 4.19 กราฟแสดงการเปรียบเทียบการเปลี่ยนแปลงความเร่งที่เวลาต่างๆ

ของการชนกระแทกที่ความเร็วทั้ง 5 ค่า ของกันชนความหนา 1 มิลลิเมตร



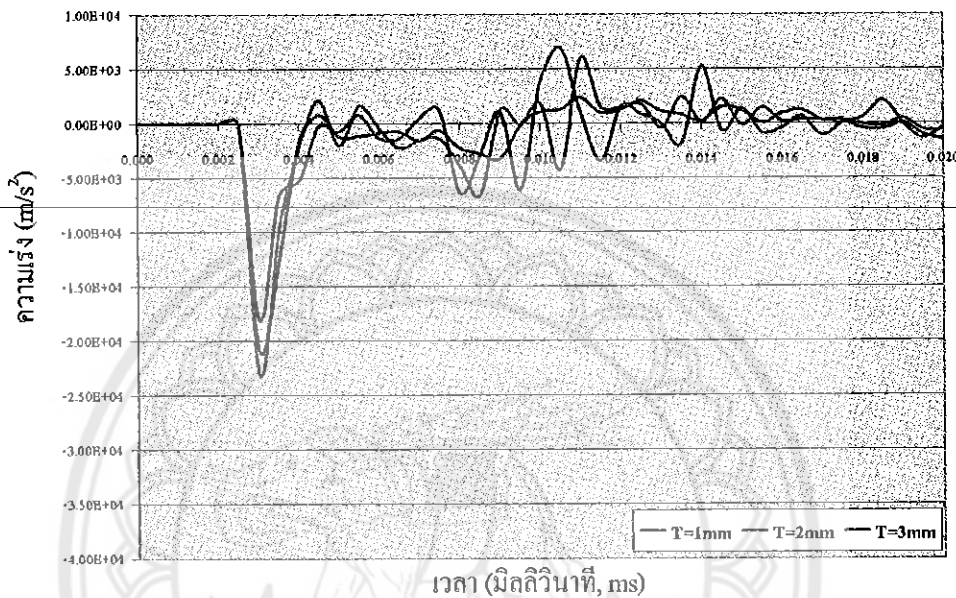
รูปที่ 4.20 กราฟแสดงการเปรียบเทียบการเปลี่ยนแปลงความเร่งที่เวลาต่างๆ ของการชนกระแทกที่ความเร็วทั้ง 5 ค่า ของกันชนความหนา 2 มิลลิเมตร



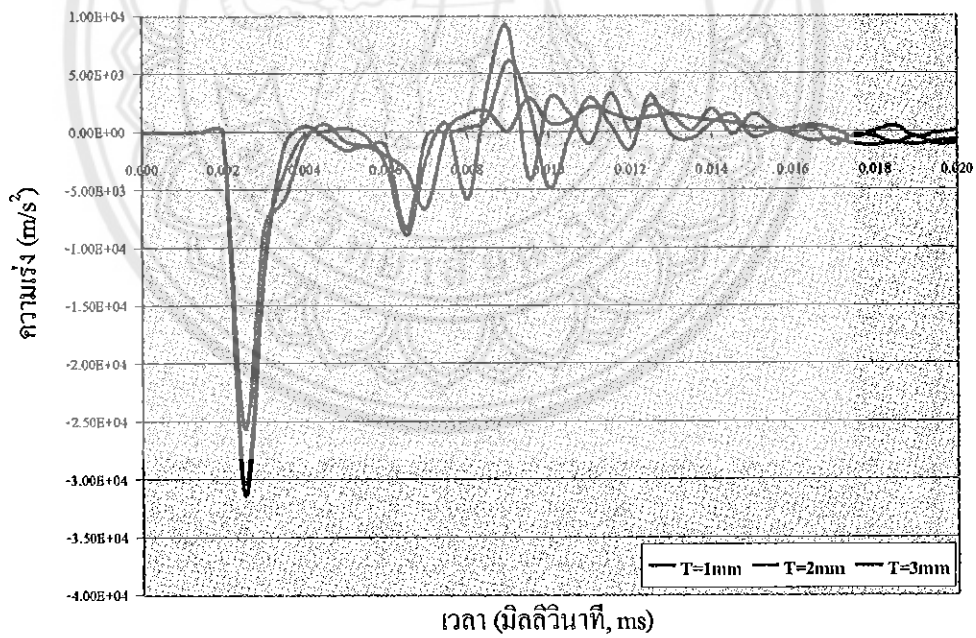
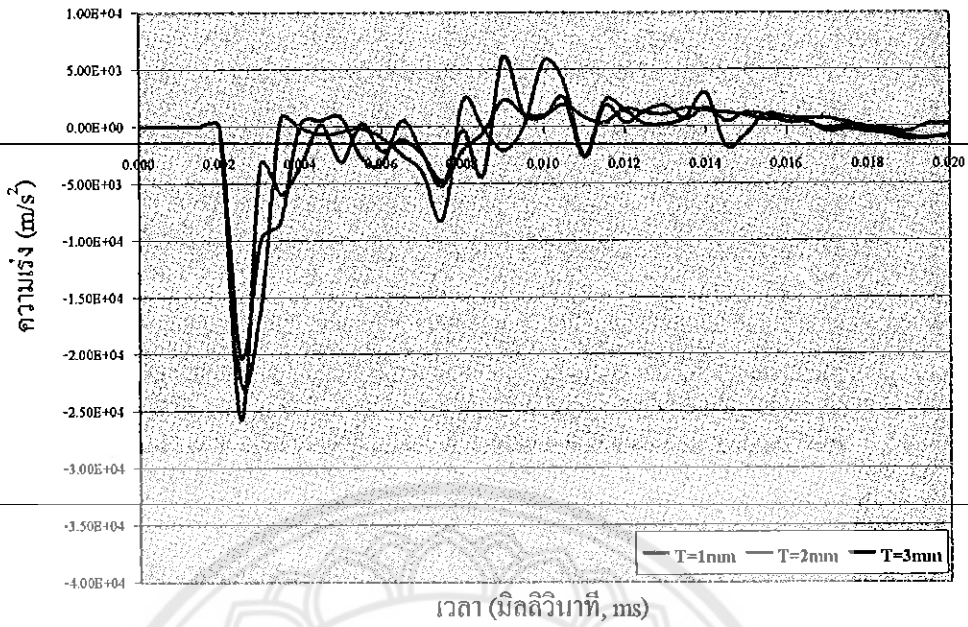
รูปที่ 4.21 กราฟแสดงการเปรียบเทียบการเปลี่ยนแปลงความเร่งที่เวลาต่างๆ ของการชนกระแทกที่ความเร็วทั้ง 5 ค่า ของกันชนความหนา 2 มิลลิเมตร

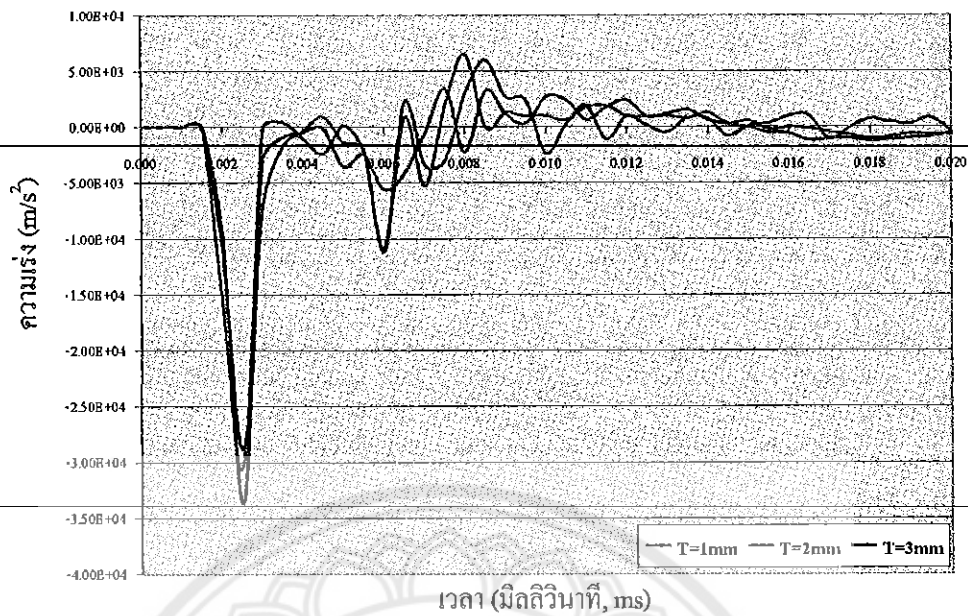
จากรูปที่ 4.19, 4.20 และ 4.21 เป็นกราฟแสดงการเปรียบเทียบการเปลี่ยนแปลงความเร่ง โดยเปรียบเทียบกันระหว่างความเร็วชนกระแทกเป็น 51, 58, 64, 70 และ 77 กิโลเมตรต่อชั่วโมง ของ การชนกระแทกของกันชนความหนา 3 ค่า คือ 1, 2 และ 3 มิลลิเมตร ตามลำดับ

ส่วนกราฟแสดงการเปรียบเทียบการเปลี่ยนแปลงความเร่งของกันชนที่มีความหนา เป็น 1, 2 และ 3 มิลลิเมตร ที่แต่ละความเร็วชนกระแทกเป็นดังแสดงในรูปที่ 4.22 ถึง 4.26

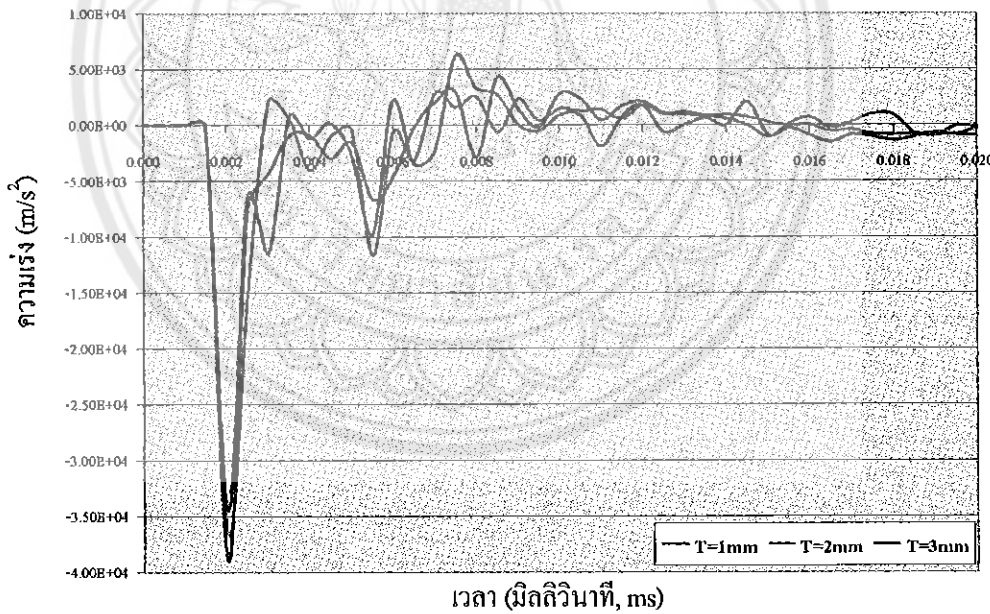


รูปที่ 4.22 กราฟแสดงการเปรียบเทียบการเปลี่ยนแปลงความเร่งที่เวลาต่างๆ ของการชนกระแทกของกันชนความหนาทั้ง 3 ค่า ที่ความเร็ว 51 กิโลเมตรต่อชั่วโมง





รูปที่ 4.25 กราฟแสดงการเปรียบเทียบการเปลี่ยนแปลงความเร่งที่เวลาต่างๆ ของกรอบกระแทกของกันชนความหนาทั้ง 3 ค่า ที่ความเร็ว 70 กิโลเมตรต่อชั่วโมง



รูปที่ 4.26 กราฟแสดงการเปรียบเทียบการเปลี่ยนแปลงความเร่งที่เวลาต่างๆ ของกรอบกระแทกของกันชนความหนาทั้ง 3 ค่า ที่ความเร็ว 77 กิโลเมตรต่อชั่วโมง

#### **4.5 การวิจารณ์ผลการจำลองสภาพ**

ผลจากการศึกษาในหัวข้อ 4.4 จะได้นำมาวิจารณ์ในหัวข้อนี้โดยได้แบ่งเป็นการวิจารณ์การเสียรูปของกันชนในระหว่างเหตุการณ์การชนกระแทกและการวิจารณ์การเปลี่ยนแปลงความเร่งของกันชนในขณะเกิดการชนกระแทก

##### **4.5.1 การวิจารณ์การเสียรูปของกันชน**

ในการจำลองสภาพการชนกระแทกในแนวตรงของกันชนหน้ารถชนด้วยรถทุกที่ทำจากเหล็กแผ่นที่มีความหนา 3 มิลลิเมตร และหนากระแทกต่อค่าแพลงเพียงครึ่งเดียวของความเร็ว 64 กิโลเมตรต่อชั่วโมงนั้นพบว่าในช่วงแรกกันชนจะเคลื่อนที่เข้าหากันอย่างมาก จนเวลาประมาณ 2 มิลลิวินาที กันชนจะเริ่มนั่นผสานกับกันชน แต่กันชนจะเริ่มถูกกดอัดระหว่างกันอย่างมาก แต่ตัวติดตั้งกันชนยังคงเคลื่อนที่เข้าหากันตัวติดตั้งกันชนนี้ถูกกดอัดจนบุบตัวเล็กน้อย ต่อมาที่เวลา 4 มิลลิวินาที ตัวติดตั้งกันชนยังคงเคลื่อนที่เข้าหากันอย่างต่อเนื่องทำให้การเสียรูปของกันชนเพิ่มขึ้นและพบว่าที่ปลายของกันชนทั้งสองด้านเริ่มดักทัวร์เล็กน้อย ช่วงเวลา 6 ถึง 11 มิลลิวินาที พบว่าการเคลื่อนที่ของตัวติดตั้งกันชนเคลื่อนที่เข้าหากันอย่างช้าลงแต่กันชนยังคงมีการเสียรูปอย่างต่อเนื่อง ที่เวลา 11 ถึง 12 มิลลิวินาที พบว่าตัวติดตั้งกันชนได้หยุดการเคลื่อนที่เข้าหากันอย่างโดยที่ไม่ได้สัมผัสกัน ในช่วงเวลาหลังจาก 12 มิลลิวินาที จนถึง 20 มิลลิวินาที พบว่าตัวติดตั้งกันชนมีการเปลี่ยนแปลงการเคลื่อนที่น้อยมากแต่กันชนยังคงมีการเสียรูปอย่างต่อเนื่อง ที่เวลาประมาณ 22 มิลลิวินาที เริ่มสังเกตเห็นว่าตัวติดตั้งกันชนเริ่มเคลื่อนที่โดยหลังออกจากกันอย่างช้าๆ แต่กันชนยังคงถูกกดอัดอยู่กับกันอย่างต่อเนื่อง ต่อมาที่เวลาประมาณ 30 มิลลิวินาที กันชนได้เคลื่อนที่โดยหลังห่างออกจากกันอย่างช้าๆ อย่างเห็นได้ชัด จากการสังเกตในช่วง 30 ถึง 50 มิลลิวินาที พบว่าการเคลื่อนที่โดยห่างออกจากกันอย่างช้าๆ นั้นจะถูกกดอัดจนแนบตัวกันสนิท ด้านที่ติดตั้งทัวร์รับจะถูกกดอัดจนเกือบแนบติดกับอีกด้าน ส่วนที่ภาคตัดของกันชนระหว่างชุดติดตั้งทัวร์รับทั้งสองด้านที่กระแทกเข้ากันอย่างมาก นั้นจะถูกกดอัดจนแนบตัวกันสนิท จนกระทั่งข้างในด้านที่กระแทกเข้ากันอย่างมากจะไม่มีการเปลี่ยนแปลงของความเร่ง ที่ปลายทั้งสองด้านจะตัดกันจนโกลงงอแต่ยังคงมีภาคตัดเป็นแนววงกลม

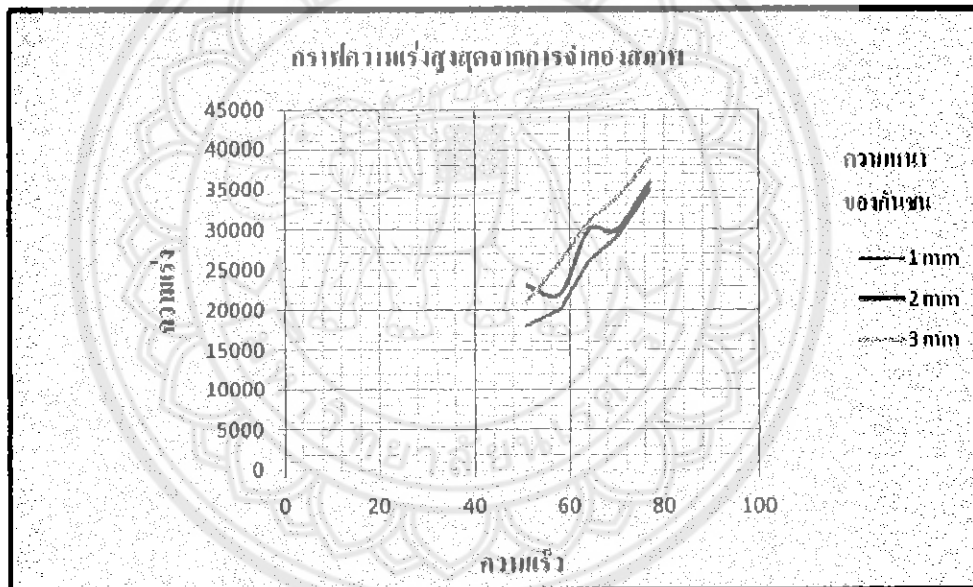
##### **4.5.2 การวิจารณ์การเปลี่ยนแปลงความเร่งของกันชน**

ผลลัพธ์จากการจำลองสภาพการชนกระแทกในส่วนของการเปลี่ยนแปลงความเร่งของกันชนในระหว่างเกิดการชนกระแทกแนวตรงที่อ่อนน้อมเรียบซึ่งได้นำเสนอเป็นกราฟการเปลี่ยนแปลงของความเร่งที่เวลาต่างๆ ดังรูปที่ 4.19 ถึง 4.21 ซึ่งแสดงการเปรียบเทียบระหว่างการชนกระแทกที่ความเร็วแตกต่างกันที่ความหนาเดียวกันทั้ง 3 ค่าความหนา และในรูปที่ 4.22 ถึง 4.26 ได้แสดงการเปรียบเทียบระหว่างความหนาที่แตกต่างกันที่ความเร็วเดียวกันทั้ง 5 ค่าความเร็ว จากกราฟทั้งหมดพบว่าแนวโน้มการเปลี่ยนแปลงความเร่งจะมีลักษณะคล้ายกันคือในช่วงแรกซึ่งไม่มีการเปลี่ยนแปลงของความเร่งในเวลาต่อมาความเร่งจะเพิ่มขึ้นอย่างรวดเร็ว (ค่าติดลบ) จนมีค่าสูงสุดในช่วงเวลา 1 มิลลิวินาที จากนั้น

ความเร่งจะลดลงจนเกือบเป็นศูนย์ ต่อจากนั้นความเร่งจะเปลี่ยนแปลงไปมาระหว่างเพิ่มขึ้นและลดลง การเปลี่ยนแปลงนี้จะค่อยๆ ลดลงจนใกล้เป็นศูนย์ในช่วงสุดท้ายของการจำลองสภาพ เมื่อพิจารณาความเร่งสูงสุดของกันชนที่เกิดขึ้นในระหว่างการชนกระแทกจะได้ค่าดังตาราง 4.6

ตารางที่ 4.6 ความเร่งสูงสุดจากการจำลองสภาพ

ความหนาของ กันชน	ความเร่งสูงสุดที่ความเร็วชนกระแทกต่างๆ ( $m/s^2$ )				
	51 km/h	58 km/h	64 km/h	70 km/h	77 km/h
1 mm.	-18,000	-20,000	-26,000	-29,000	-35,000
2 mm.	-23,000	-22,000	-30,000	-30,000	-36,000
3 mm.	-21,000	-26,000	-31,000	-34,000	-39,000



รูปที่ 4.27 กราฟเบรย์บิลเพื่อความเร่งสูงสุดที่ความหนาต่างๆ ของกันชน

เมื่อพิจารณาถึงความหนาเดียวของกันชนจากรูปที่ 4.27 จะพบว่าในกันชนที่มีความหนาเป็น 1 และ 3 มิลลิเมตรนั้น ความเร่งสูงสุดที่เกิดขึ้นจะคล้ายกันคือจะมีค่าเพิ่มขึ้นอย่างเห็นได้ชัดเมื่อความเร็วชนกระแทกเพิ่มขึ้น แต่สำหรับกันชนที่มีความหนาเป็น 2 มิลลิเมตร ความเร่งสูงสุดที่แต่ละค่าความเร็วชนกระแทกนั้นไม่ได้มีความสอดคล้องกัน เมื่อเบรย์บิลเพื่อความเร่งสูงสุดที่ความเร็วชนกระแทกเดียวกัน ในแต่ละค่าความหนาของกันชนนั้นพบว่าความหนาของกันชนที่เพิ่มขึ้นนั้นมีผลทำให้ความเร่งสูงสุดเพิ่มขึ้น

จากข้อมูลในตาราง 4.6 จึงสรุปได้ว่าทั้งความเร็วชนกระแทกและความหนาของกันชนมีผลโดยตรงต่อความเร่งสูงสุดที่เกิดขึ้นต่อกันชนหน้ารถชนตัวบรรทุกในขณะเกิดการชนกระแทกและจากราฟการเปลี่ยนที่บันความหนาต่างๆ ของกันชนทำให้พบว่าที่ความหนามากและความเร็วที่พุ่งเข้าชนสูงกันชนจะสามารถลดศักยภาพลังงานได้ดีกว่ากันชนที่มีความหนาน้อย

สำหรับการวิเคราะห์สาเหตุของการเสียรูปและการเปลี่ยนแปลงความเร่งของกันชนที่เวลาต่างๆ ผลของความเร็วชนกระแทกและความหนาของกันชนที่มีต่อการเปลี่ยนแปลงความเร่งและการสรุปผลของการศึกษาการเสียรูปและการเร่งของกันชนหน้ารถชนตัวบรรทุกในการชนกระแทกแนวตรงจะได้กล่าวถึงในบทต่อไป



## บทที่ 5

### การวิเคราะห์และสรุปผล

#### 5.1 การวิเคราะห์ผล

จากหัวข้อที่ผ่านมาซึ่งได้ทำการการศึกษาถึงการเสียรูปของกันชนและการเปลี่ยนแปลงความเร่งของกันชนหน้าร่องน้ำที่บ่อบรุษ ซึ่งในหัวข้อนี้จะได้ทำการวิเคราะห์ถึงสาเหตุของการเปลี่ยนแปลงที่เกิดขึ้นต่อ กันชน โดยจะได้แบ่งการวิเคราะห์ผลของการศึกษาออกเป็น 2 ส่วน คือ การวิเคราะห์การเสียรูปของกันชนและการวิเคราะห์การเปลี่ยนแปลงความเร่งของกันชนหน้าร่องน้ำที่บ่อบรุษ

##### 5.1.1 การวิเคราะห์การเสียรูปของกันชนหน้าร่องน้ำที่บ่อบรุษ

ในการศึกษาที่ต้องการทราบถึงพฤติกรรมของกันชนหน้าร่องน้ำที่บ่อบรุษซึ่งมีความหนาของกันชนเป็น 3 มิลลิเมตร ผู้ชุมชนระบุก็ว่า กับกำแพงแข็งเกร็งตัวความเรื้อร 64 กิโลเมตรต่อชั่วโมง โดยได้ศึกษาพฤติกรรมการเสียรูปจากการจำลองสภาพการณ์กระแทก ซึ่งภาพพฤติกรรมการเสียรูปของกันชนที่เวลาต่างๆ ในรูปที่ 4.17 ถึง 4.18 พบว่า กันชนร่องน้ำที่บ่อบรุษจะมีการเสียรูปที่เพิ่มขึ้นอย่างต่อเนื่องตามการเคลื่อนที่เข้าหากำแพงแข็งเกร็งของกันชน โดยพนในช่วงแรกนั้น กันชนกำลังเคลื่อนที่เข้าหากำแพงฯ แต่ยังไม่สัมผัสถักกันกำแพงฯ กันชนจึงยังไม่มีการเสียรูป ต่อมาที่เวลาประมาณ 2 มิลลิวินาที พนว่า กันชนเริ่มสัมผัสถักกันกำแพงฯ ตัวกันชนบริเวณที่ต่อ กับตัวรองรับจะถูกกดอัดจนยุบตัว เสียก้อนอย่างต่อ กันชนที่บ่อบรุษอื่นยังไม่เกิดการเสียรูป ต่อมาที่เวลา 4 มิลลิวินาที กันชนและตัวรองรับยังคงเคลื่อนที่เข้าหากำแพงฯ อย่างต่อเนื่องจึงทำให้หัวกันชนบริเวณที่ต่อ กับตัวรองรับมีการบุบตัวเพิ่มขึ้นและพบว่า ที่ปลายกันชนหักส่องค้านเริ่มดัดตัวเล็กน้อยเนื่องจาก การบุบตัวที่จุดต่อ กับตัวรองรับนั้นได้ดึงให้ปลายของกันชนเริ่มเคลื่อนตัวไปทางขวา 11 มิลลิวินาที พนว่า ตัวรองรับกันชนเคลื่อนที่เข้าหา กำแพงฯ ช้าลงแต่กันชนยังคงมีการเสียรูปอย่างต่อเนื่อง ในช่วงเวลา 6 ถึง 11 มิลลิวินาที พนว่า ตัวรองรับกันชนเคลื่อนที่เข้าหา กำแพงฯ ช้าลงแต่กันชนยังคงมีการเสียรูปอย่างต่อเนื่อง ในช่วงเวลา 12 จนถึง 20 มิลลิวินาที พนว่า ตัวรองรับกันชนมีการเปลี่ยนแปลงการเคลื่อนที่อย่างมากเนื่องจากมีกันชนที่ถูกกดอัดจนยุบตัวบางอยู่แล้ว กันชนส่วนอื่นยังคงมีการเสียรูปอย่างต่อเนื่อง ต่อเนื่อง ที่เวลาประมาณ 22 มิลลิวินาที เริ่มสังเกตเห็นว่า ตัวรองรับกันชนเริ่มเคลื่อนที่โดยหลังออกจากกำแพงฯ อย่างช้าๆ เมื่อจากพลังงานลดลงของการชนกระแทกได้ถ่ายเทไปยังกันชนในรูปของ การเสียรูปของกันชนซึ่งพลังงานลดลงส่วนที่เหลืออยู่ได้ทำให้กันชนและตัวรองรับเริ่มเคลื่อนที่โดยยกดันออกกันมา ต่อมาที่เวลาประมาณ 30 มิลลิวินาที กันชนได้เคลื่อนที่โดยหลังห่างออกจากกำแพงฯ อย่างเห็นได้ชัด จากการสังเกตในช่วง 30 ถึง 50 มิลลิวินาที พนว่า การเคลื่อนที่อย่างห่างออกจากกำแพงของกันชนนี้จะเป็นไปอย่างช้าๆ เมื่อจากพลังงานส่วนใหญ่ได้สูญเสียไป กับการเสียรูปของกันชนแล้วจึงเหลือพลังงานน้อยเพียงบางส่วนทำให้การเคลื่อนที่มีความเร็วลดลง ทั้งนี้

ในช่วงท้ายของการขันกระแทกนิ้วกันชนบริเวณด้านที่รองรับตัวรองรับจะถูกกดอัดจนเกือบแนบติดกับอีกด้าน ส่วนที่ภาคตัดของกันชนระหว่างจุดรองรับตัวรองรับทั้งสองในด้านที่กระแทกเข้ากับกำแพงฯ นั้นจะถูกกดอัดจนแนบส่วนด้านตรงข้ามไปงอก และที่ปลายทั้งสองด้านจะดัดด้วยไก่ไปงอแต่ยังคงมีภาคตัดเป็นแบบวงกลม

### 5.1.2 การวิเคราะห์ความเร่งของกันชนหน้ารถชนตัวรถ

ผลลัพธ์จากการจำลองสภาพอีกส่วนหนึ่งที่ทำการศึกษาคือการเปลี่ยนแปลงความเร่งของกันชนหน้ารถชนตัวรถทุกเมื่อเกิดการขันกระแทกโดยมีผลลัพธ์คือกราฟแสดงการเบรีบเนียนการเปลี่ยนแปลงความเร่งที่เวลาต่างๆ ดังแสดงในรูปที่ 4.19 ถึง 4.21 แสดงการเบรีบเนียนระหว่างการขันกระแทกที่ความเร็วแตกต่างกันที่ความหนาเดียวกันทั้ง 3 ค่าความหนา และในรูปที่ 4.22 ถึง 4.26 แสดงการเบรีบเนียนระหว่างความหนาที่แตกต่างกันที่ความเร็วขันกระแทกเดียวกันทั้ง 5 ค่าความเร็ว จากกราฟทั้งหมดพบว่าแนวโน้มการเปลี่ยนแปลง ความเร่งจะมีลักษณะคล้ายกันคือในช่วงแรกซึ่งไม่มีการเปลี่ยนแปลงของความเร่งเพรา กันชนบังคับเคลื่อนที่เข้าหากันทำให้ความเร็วลดลง เมื่อเพิ่มขึ้นอย่างรวดเร็ว (ค่าติดลบ) จนมีค่าสูงสุดในช่วงเวลา 1 มิลลิวินาที การที่ความเร่งมีค่ามากที่สุดในช่วงแรกนี้ก็เพราะว่ามีการเปลี่ยนแปลงความเร็วอย่างมากก่อนจาก 51 ถึง 77 กิโลเมตรต่อชั่วโมง จนเกือบหยุดนิ่งในช่วงเวลาที่น้อยมากๆ จากนั้นความเร่งจะเกิดการเปลี่ยนแปลงไปนาทีในช่วงนี้ค่าของความเร่งจะไม่สูงเท่าในตอนแรกเนื่องจากความเร็วได้ลดลงมาแล้วส่วนการที่ความเร่งเกิดการแก่ลงไปนานี้นั้นเนื่องจากในการบุนตัวของกันชนจะเกิดขึ้นเป็นช่วงๆ ในเวลาที่สั้นมากๆ ซึ่งการบุนตัวมีเป็นช่วงๆ นี้จะส่งผลให้ความเร็วเกิดการเปลี่ยนแปลงไปมา จนสุดท้ายเมื่อกันชนบุนตัวจนหมดแล้วความเร็วจะกลับเป็นศูนย์และกันชนเริ่มถอยห่างออกจากกันทำให้ช่วงหลังความเร่งจะมีค่าน้อยมาก

เมื่อพิจารณาถึงดัวแปรที่ทำการศึกษาคือความเร็วขันกระแทกและความหนาของกันชนที่มีผลต่อการเปลี่ยนแปลงความเร่งโดยพิจารณาที่นั้นพบว่าความหนาของกันชนที่เพิ่มขึ้นทำให้ความเร่งในขณะเดียวกันนั้นมีค่าเพิ่มขึ้นตามเดิมมากนัก จากการพิจารณาสมการของความเร่งคือ  $a = \frac{F}{m}$  (การเปลี่ยนแปลงความเร็วหารด้วยการเปลี่ยนแปลงของเวลาจะพบว่ามีเวลา ( $t$ ) ไม่มีผลในสมการของความเร่งแต่จากการจำลองสภาพการขันกระแทกพบว่าเวลาของกันชนจะมีผลต่อความเร่งเล็กน้อย สำหรับความเร็วขันกระแทกนั้นจะมีผลต่อความเร่งเป็นอย่างมากตามสมการของความเร่งคือหากความเร็วขันกระแทกมีค่าสูงย่อมทำให้มีผลต่อการขันกระแทกแล้วความเร่งจะมีค่าสูงตามไปด้วย นั่นคือทั้งความหนาของกันชนและความเร็วขันกระแทกมีผลโดยตรงต่อการเปลี่ยนแปลงของความเร่งแต่ความหนาจะส่งผลน้อยกว่าความเร็วขันกระแทก

## 5.2 สรุปผลการศึกษา

1. ในการศึกษาพฤติกรรมการชนกระแทกของกันชนหน้ารถชนตัวรถทุกพบว่าในการชนกระแทกต่อสำหรับน้ำหนักเฉลี่ยของกันชนความหนา 3 มิลลิเมตร ด้วยความเร็วชนกระแทก 64 กิโลเมตรต่อชั่วโมง กันชนจะบุบตัวชนหดตัวลดความเร็วเหลือ 12 มิลลิวินาที และการชนกระแทกจะสิ้นสุดลงโดยใช้เวลาประมาณ 30 มิลลิวินาที

2. ความเสียหายที่เกิดขึ้นต่อ กันชนจะมี 3 ลักษณะใหญ่ๆ คือ 1. กันชนในบริเวณที่ติดตั้งเข้ากับตัวรองรับจะถูกตัวรองรับกดอัดจนเสียรูปแบบติดกับสำหรับ 2. กันชนบริเวณที่อยู่ระหว่างตัวรองรับทั้งสองจะถูกกดอัดจนด้านที่ซิดกับสำหรับจะเสียรูปของส่วนโถงของวงกลมไปแล้วด้านตรงข้าม โดยรวมแล้วขังสภาพส่วนโถงของวงกลมอยู่ และ 3. ที่ปลายของกันชนทั้งสองด้านจะถูกเนื้อรัศมีสัมผัสส่วนที่ถูกกดดังไปนี้คือการโกร่งขอ

3. เมื่อเกิดการชนกระแทกความเร่งที่เกิดขึ้นจะมีลักษณะเป็นความหน่วง (Deceleration) ไฟราระความเร็วของกันชนลดลงและค่าของความเร่งที่เกิดขึ้นจะมีค่าต่ำลงเข้าสูงคืออยู่ในช่วง 18,000 ถึง 39,000 เมตรต่อวินาที<sup>2</sup> ในช่วงของตัวแปรที่ทำการศึกษา โดยการชนกระแทกของกันชนความหนา 3 มิลลิเมตร ด้วยความเร็ว 64 กิโลเมตรต่อชั่วโมง จะมีความเร่งเป็น 31,000 เมตรต่อวินาที<sup>2</sup>

4. ความเร็วชนกระแทกและความหนาของกันชนมีผลโดยตรงต่อความเร่งสูงสุดที่เกิดขึ้นต่อ กันชนหน้ารถชนตัวรถทุกในขณะเดียวกันการชนกระแทกแต่ความหนาจะส่งผลกระทบกว่าความเร็วชนกระแทก

5. เมื่อความหนาของกันชนมากและความเร็วที่พุ่งเข้าชนสูงกันชนจะสามารถดูดซับพลังงานได้ดีกว่ากันชนที่มีความหนาน้อย

## 5.3 ข้อเสนอแนะ

1. ควรมีการจำลองสภาพรถชนตัวทั้งคันเพื่อหาความเร่งสำหรับรถชนตัวทั้งคัน เนื่องจากความเร่งที่ได้จากการศึกษานี้จะเป็นเพียงความเร่งของกันชนหน้ารถชนตัวรถทุกเท่านั้น

2. ควรมีการศึกษาเพิ่มเติมสำหรับกันชนรถชนตัวรถทุกที่มีลักษณะแบบอื่นๆ และลักษณะของการชนกระแทกแบบอื่นๆ

3. ควรมีการศึกษาถึงพฤติกรรมการเสียรูปและความเร่งในชิ้นส่วนที่ต่อเข้ากันกันชน และศึกษาการเสียรูปของตัวถังของรถชนตัวรถทั้งคัน

4. ควรมีการทำการทดสอบจริงเพื่อตรวจสอบและผลที่ได้จากการทดลอง

## เอกสารอ้างอิง

- [1] หงษ์พ่องสมุทร. (2549). วิชีไฟในต่อสิเนนท์เมืองตัน. เรียงใหม่: โครงการทำรากาควิชาศึกกรรมเครื่องกล ภาควิชาศึกกรรมเครื่องกล คณะศึกกรรมศาสตร์ มหาวิทยาลัยเชียงใหม่.
- [2] ภาควิชาศึกกรรมเครื่องกล. (2542). ปฏิบัติการทดสอบการรับแรงดึงของวัสดุ. พิมพ์โดย: คู่มือปฏิบัติการวิชาศึกกรรมเครื่องกล ภาควิชาศึกกรรมเครื่องกล คณะศึกกรรมศาสตร์ มหาวิทยาลัยเชียงใหม่.
- [3] มนตรี พิรุณแกณคร. (2549). กลศาสตร์ของแข็ง. กรุงเทพฯ: บริษัทจุนพับลิชชิ่ง
- 
- [4] สำนักงานตำรวจนครบาล. [แฟ้มข้อมูล]. สถิติคดีอาชญากรรม. สืบค้นเมื่อ 28 สิงหาคม 2553, จาก [http://statistic.fip.police.go.th/traffic\\_main.htm](http://statistic.fip.police.go.th/traffic_main.htm).





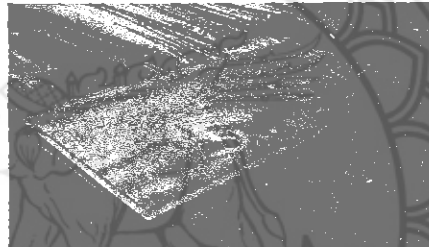
## ภาคผนวก ก

ในส่วนนี้จะกล่าวถึงขั้นตอนของการใช้งานเครื่องทดสอบดึง รวมถึงการตั้งค่าเครื่องทดสอบให้มีความสมบูรณ์ ซึ่งมีรายละเอียดดังต่อไปนี้

จากการศึกษาถึงการเดิมทุปและความเร่งของกันชนหน้ารถยกน้ำหนักนั้นจำเป็นต้องรู้ คุณสมบัติของเหล็กเพื่อนำไปเป็นข้อมูลสำหรับโปรแกรมคำ算法ทางไฟฟ้าในตัวอิเล็กทรอนิกส์ในการจำลอง สภาพการชนต่อไป การตั้งค่าต่างๆ ของเครื่องทดสอบดึงอธินาฯ ได้ดังนี้

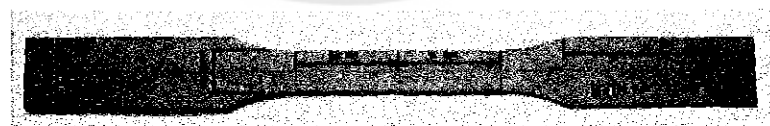
### 1. ขัดเตรียมชิ้นตัวอย่างทดสอบดึงตามมาตรฐานการทดสอบดึง

1.1 เริ่มจากการดำเนินการหาแผ่นเหล็กที่มี ขนาดของความหนา 1.2 มิลลิเมตร



รูปที่ 1 ก แสดงลักษณะแผ่นเหล็ก

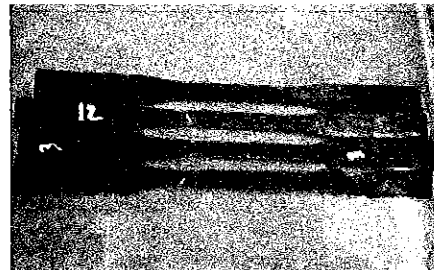
1.2 ออกแบบชิ้นงานที่ทดสอบตามมาตรฐานการทดสอบดึง (ASTM) โดยความกว้าง 220 mm. หนา 1.2 mm. ความกว้างส่วนหัวจับ 20 mm. ความกว้างชุดทดสอบ 12.3 mm. ความยาวชุดทดสอบ 60 mm. ความยาวบริเวณหัวจับทดสอบ 60 mm. (ดังรูปที่ 2 ก)



รูปที่ 2 ก แสดงลักษณะชิ้นงานตามมาตรฐานทดสอบดึง(หน่วย mm.)

1.3 นำชิ้นงานที่ได้ออกแบบไว้แล้วในรูปที่ 2 ก ไปทำการตัดออกมาระหว่าง 15 ชิ้น

1.4 จะได้ชิ้นงานอุกมาดกณฑ์ตามรูปที่ 3 ก



รูปที่ 3 ก แสดงเห็นหลักที่ทำการตัดเป็นชิ้นงาน

## 2. ทดสอบดึงความมาตรฐานการทดสอบดึง

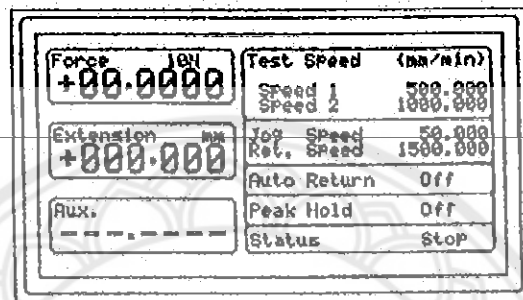
2.1 นำชิ้นงานที่จัดเตรียมจากข้อ 1 ที่ได้จำนวน 15 ชิ้น มาทำการทดสอบและตรวจสอบความพร้อมทั้งหมดในการทดสอบการดึงมาตรฐานค่าตึงทางที่ 1 ก

ตารางที่ 1 ก แสดงค่าต่าง ๆ ในชิ้นงาน

ชิ้นงานที่	ความยาว (mm)	ความหนา (mm)	ความกว้าง (mm)
1	220	1.2	12.3
2	220	1.2	12.3
3	220	1.2	12.3
4	220	1.2	12.3
5	220	1.2	12.3
6	220	1.2	12.3
7	220	1.2	12.3
8	220	1.2	12.3
9	220	1.2	12.3
10	220	1.2	12.3
11	220	1.2	12.3
12	220	1.2	12.3
13	220	1.2	12.3
14	220	1.2	12.3
15	220	1.2	12.3

2.2 ติดตั้ง load cell ขนาด 50 kN พร้อมหัวจับชิ้นงานเข้ากับ Crosshead และฐานเครื่อง แล้วต่อสายสัญญาณ load cell เข้าที่ Crosshead (ทางห้องปฏิบัติการทดสอบแรงดึงได้ติดตั้งไว้แล้ว)

2.3 เปิดสวิตซ์เครื่องทดสอบ จะใช้เวลาประมาณ 5 วินาที จะปรากฏหน้าจอดังแสดงในรูปที่ 4 ก



รูปที่ 4 ก แสดงหน้าจอแสดงผลเวลาเปิดสวิตซ์เครื่องทดสอบดึง

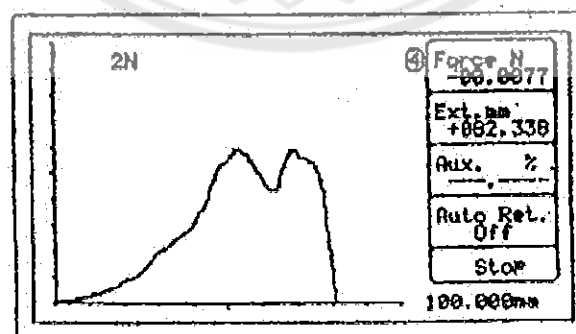
#### ทำการป้อนข้อมูลตัวแปรการทดสอบ

2.4 โดยเข้าสู่ Main Menu Screen ด้วยการกดปุ่ม [ENTER] เลือก [1] เพื่อตั้งค่าความเร็ว Speed = 100 mm/min เสร็จแล้วกดปุ่ม [ENTER]

2.5 เลือก [3] เพื่อตั้งค่า Auto Return = Stop เสร็จแล้วกด [ENTER]

2.6 เลือก [4] เพื่อตั้งค่า Force Limit = 90.000% ; ค่าอื่นๆ ตั้งเป็น off เสร็จแล้วกด [ENTER]

2.7 เลือก [6] เพื่อตั้งค่าให้เป็น Graph Display ลักษณะการแสดงผลดังรูปที่ 5 ก



รูปที่ 5 ก แสดงผลเวลาดึงแบบ Graphic Display Mode

2.8 เลือก [7] เพื่อตั้งค่า Result > Program > Result Unit = Stress (stress เส้นเล็กๆ กด)

[ENTER]

2.9 เลือก [8] เพื่อตั้งค่า Default > Force Unit = Newton; Extension Unit =

Millimeter

2.10 เลือก [9] เพื่อป้อนค่าความหนาและความกว้างของชิ้นงานตามที่ออกแบบไว้

### ทำการป้อนค่าข้อมูลตัวแปรการพิมพ์

2.11 เลือก [5] เพื่อตั้งค่า Identifier: Subject; Group; Date/Time = 12/11/2010;

Material = Strain Less (stress เส้นเล็กๆ กด) [ENTER]

2.12 เลือก [8] เพื่อตั้งค่า Printer Setup > Curves per page = 5, > Curve offset =

5%, > Print out = Result/Graph (stress เส้นเล็กๆ กด) [ENTER]

### การจับชิ้นงาน

2.13 จับชิ้นงานแผ่นเหล็กที่เตรียมไว้แล้วชิ้นที่ 1 เป้ากันหัวจับตัวบน ขันยึดให้แน่น ส่วนหัวจับตัวล่างเปิดกว้างอย่าวัดดังแสดงรูปที่ 6 ก ประกอบ

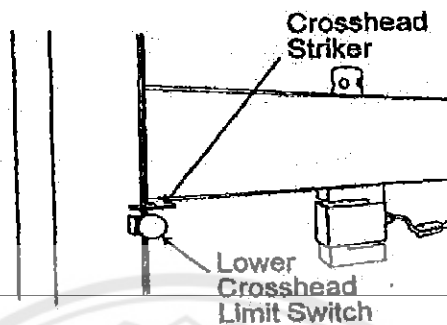


รูปที่ 6 ก การจับชิ้นงานทดสอบด้านบน

2.14 กดปุ่ม [STOP] บนmpegควบคุมเพื่อให้ LED กระพริบ แล้วตั้งตำแหน่งของชิ้นงานด้วยปุ่มลูกศร [UP] และ [DOWN] (เรียกว่า jogging) จนชิ้นงานอยู่ในปากของหัวจับตัวล่าง พอดี

2.15 กดปุ่ม [STOP] เพื่อให้ LED หยุดกะพริบ (สว่างนิ่ง)

2.16 ตั้งค่า mechanical limit switch อันล่า่งให้อยู่ต่ำกว่าตำแหน่งของตัวพาน  
(crosshead striker) ประมาณ 1 เซนติเมตร ดูรูปที่ 7 ก ประกอบ



รูปที่ 7 ก แสดงตำแหน่งของตัวพาน (crosshead striker) ประมาณ 1 เซนติเมตร

2.17 กดปุ่ม [F1] Zero Force เพื่อตั้งค่าแรงให้เป็นศูนย์ และกดปุ่ม [F2] Zero Extension เพื่อตั้งค่าระยะหักให้เป็นศูนย์

2.18 ขันหัวจับชิ้นงานตัวล่างให้เข้ากับชิ้นงานบนแน่น (คล้ายรูปที่ 6 ก)

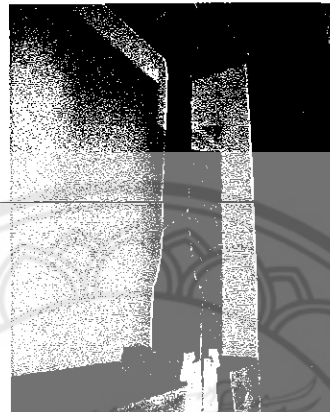


รูปที่ 8 ก การขันชิ้นงานทดสอบด้านล่าง

2.19 ตรวจสอบดูให้แน่ใจก่อนว่า LED ที่ปุ่ม [TEST] สว่างนิ่งแล้ว ทดสอบว่าพร้อมที่จะทดสอบ ถ้า LED ดับ ให้กดปุ่ม [TEST] อีกครั้งหนึ่ง LED จะสว่างนิ่ง

2.20 การทดสอบ กดปุ่มลูกศร [UP] เครื่องจะทำการทดสอบโดยการคึ่งงานขาดตาม limit ที่ระบุไว้

2.21) เมื่อชิ้นงานขาดแล้วนำชิ้นงานที่ขาดออกจากกันทิ้งสองส่วนของงานต่อ กันแล้ววัดความยาวรวม (ในกรณีที่ชิ้นงานถูกดึงจนเครื่องหยุด แต่ชิ้นงานไม่ขาด ให้ทำการกดปุ่มลูกศร [UP] จนชิ้นงานขาดแล้วกดปุ่ม [STOP] จากนั้นจึงทำต่อไปตามปกติ)

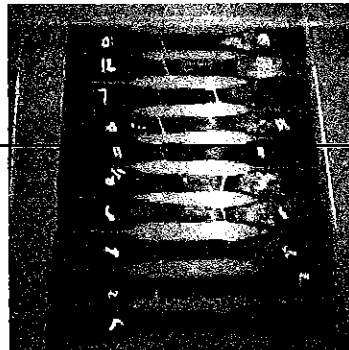


รูปที่ 9 ก แสดงการรอยขาดของชิ้นงานทดสอบ

2.22 เมื่อนำชิ้นงานที่ขาดออกจากกันแล้ว กดปุ่ม [FS] หัวจับบนจะเคลื่อนที่กลับลงมาที่ตำแหน่งสูนบีบ

2.23 เปลี่ยนชิ้นงานใหม่ใส่เข้าไปในปากจับของหัวจับบน แล้วทำการขันตอนการจับปีดชิ้นงาน

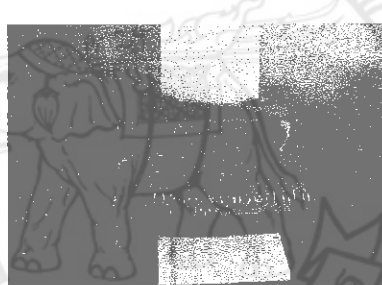
2.24 ทำการทดสอบจนกว่าจะได้ค่าที่ใกล้เคียงกันจำนวน 5 ค่า (ในที่นี้ผู้ทดสอบทำการทดสอบจำนวน 9 ครั้ง)



รูปที่ 10 ก ชิ้นงานที่ทดสอบแล้ว

2.25 กด [F4] เครื่องจะพิมพ์ผลการทดสอบเป็นกราฟ จำนวน 9 แผ่น (ดังรูปที่ 11)

ก) พร้อมผลทดลองที่เป็นตัวเลขแต่ละชุด 8 ชุด หลังจากพิมพ์ผลการทดสอบแล้วให้กด [F1] เพื่อลบ  
ข้อมูลทั้ง 9 ชุดออกจากหน่วยความจำ



รูปที่ 11 ก แสดงพิมพ์ผลการทดสอบแรงดึง

2.26 ปิดเครื่องหลังจากการทดสอบท่าเสริจทุกอย่างแล้วถอดชิ้นงานออกจาก

หัวจับ

2.27 ปิดสวิตซ์เครื่องทดสอบ

2.28 ถอดหัวจับทัวนนออกจากเครื่องทดสอบ เพราะไม่ให้เป็นน้ำหนักถ่วง load cell แล้วทำการตรวจสอบสถานที่ทดสอบให้ออกในสภาพเริ่มต้นก่อนใช้งาน

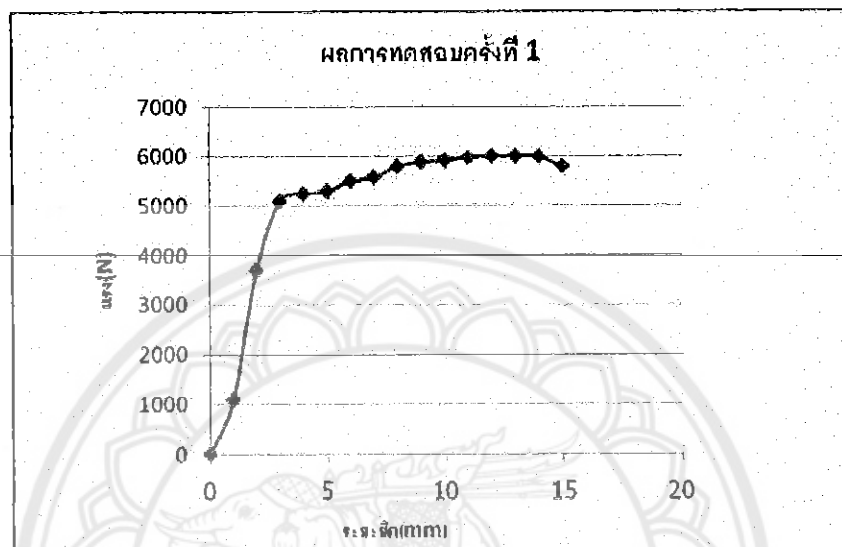
**3. ค่าที่ได้จากการทดสอบโดยการจดบันทึก**  
**ตารางที่ 2 ก แสดงค่าที่จดบันทึกหลังการทดสอบ**

ผลการทดสอบครั้งที่	ความยาวเริ่มต้น	ความยาวหลังทดสอบ	ระยะที่ปีกออก
	(mm)	(mm)	(mm)
1	220	240	20
2	220	240.5	20.5
3	220	245	25
4	220	240	20
5	220	240.3	20.3
เฉลี่ยทั้ง 5 ผลการทดสอบ	220	241.16	21.16

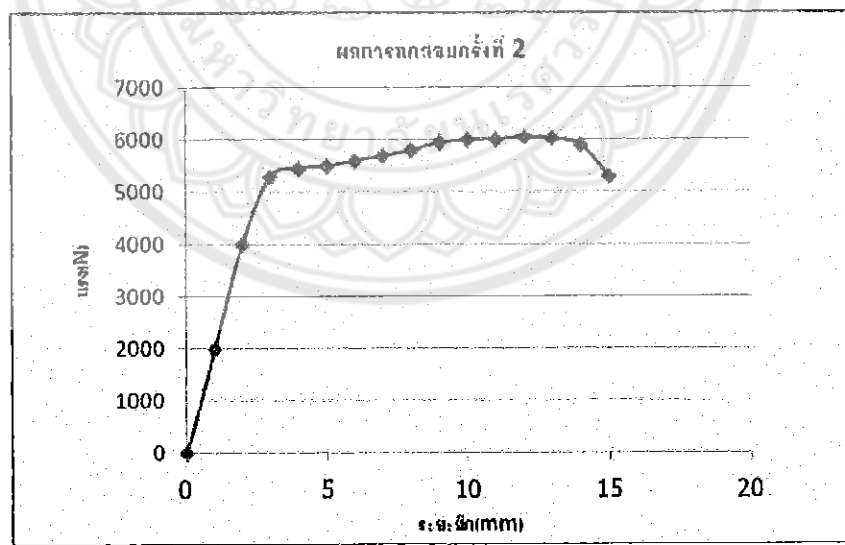


## ภาคผนวก ข

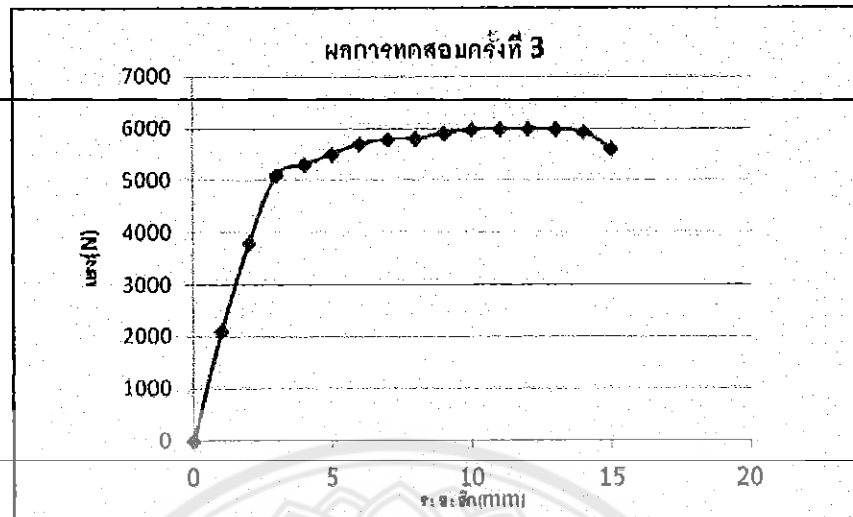
ในส่วนนี้จะกล่าวถึงผลการทดสอบการดึงเหล็กทั้ง 5 การทดสอบซึ่งมีรายละเอียดดังต่อไปนี้



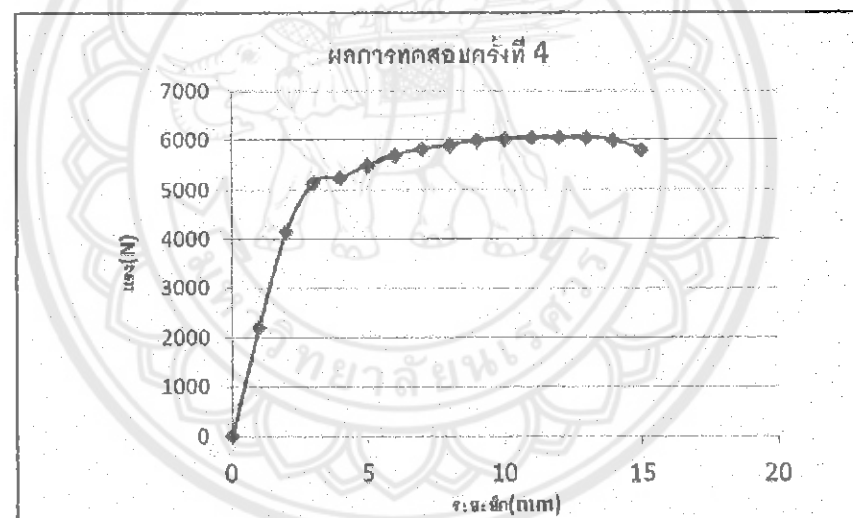
รูปที่ 1 ข ผลการทดสอบการดึงครั้งที่ 1



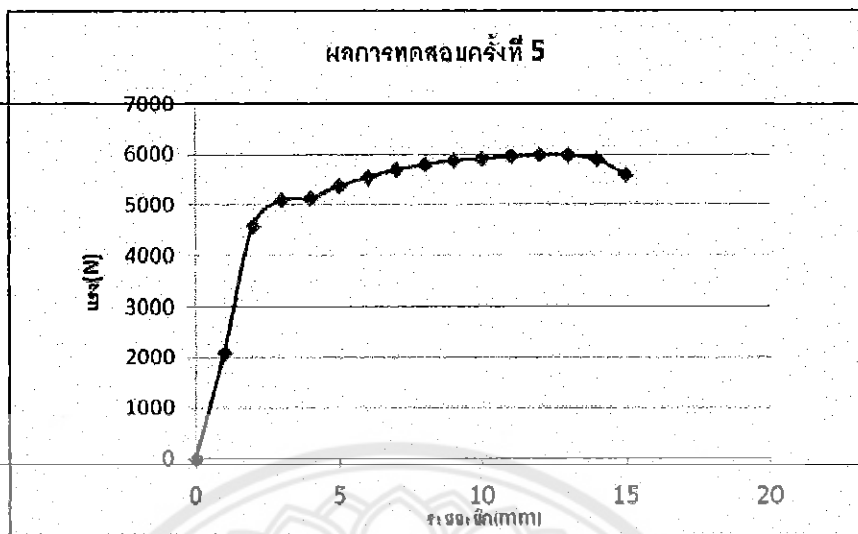
รูปที่ 2 ข ผลการทดสอบการดึงครั้งที่ 2



รูปที่ 3 ข ผลการทดสอบการดึงครั้งที่ 3



รูปที่ 4 ข ผลการทดสอบการดึงครั้งที่ 4



รูปที่ ๕ ข ผลการทดสอบดึงครั้งที่ ๕



## ประวัติผู้จัดทำโครงการ

**ชื่อ** นายธีรวัฒน์ วงศ์ด้วง  
**วันเดือนปีเกิด** 1 กุมภาพันธ์ 2531  
**ภูมิลำเนา** 49 หมู่ 4 บ้านป่าตัน อ.แม่ทะ  
**จ. ลำปาง 52150**  
**ประวัติการศึกษา** จบการศึกษาระดับมัธยมศึกษาตอนปลาย  
 จากโรงเรียนมัธยมวิทยา  
 จังหวัดลำปาง ปีการศึกษา 2549  
**E-mail** Deaklampang@hotmail.com



**ชื่อ** นายนัทที ลิขิต  
**วันเดือนปีเกิด** 10 เมษายน 2531  
**ภูมิลำเนา** 24 หมู่ 4 บ้านตีก อ.ศรีสัchanalัย  
**จ.สุโขทัย 64130**  
**ประวัติการศึกษา** จบการศึกษาระดับมัธยมศึกษาตอนปลาย  
 จากโรงเรียนเมืองพึงวิทยา  
 จังหวัดสุโขทัย ปีการศึกษา 2549  
**E-mail** Nattee\_love10@hotmail.com

